

บทที่ 5

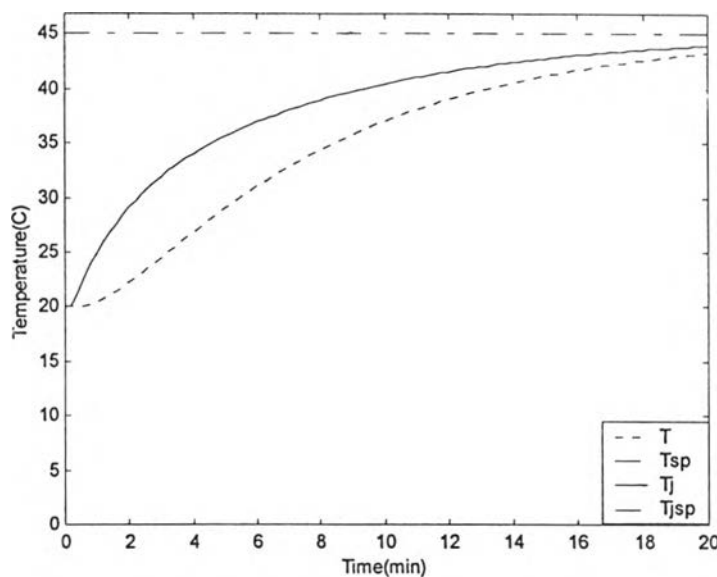
ผลการทดลองและการวิเคราะห์ผลการทดลอง การจำลองการควบคุมอุณหภูมิภายในเครื่องปฏิกรณ์เคมีพอลิเมอร์แบบแบตช์

ในบทนี้เป็นการรวบรวมผลการจำลอง ที่ศึกษาการควบคุมอุณหภูมิภายในเครื่องปฏิกรณ์เคมีพอลิเมอร์แบบแบตช์ที่มีปฏิกิริยาคายความร้อน การศึกษานี้เพื่อแสดงถึงพฤติกรรมเชิงพลวัตของกระบวนการ โดยการจำลองเครื่องปฏิกรณ์เคมีแบบแบตช์ที่มีปฏิกิริยาคายความร้อนทั้งระบบควบคุมแบบลูเปิดและแบบลูปิดในหัวข้อ 5.1 ผลการทดลองและการวิเคราะห์ปฏิกิริยาจากบทความของ Crowley และ Choi (1996) และในหัวข้อ 5.2 ผลการควบคุมอุณหภูมิของเครื่องปฏิกรณ์เคมีพอลิเมอร์ ตามงานวิจัยของ Kim (1991) ในหัวข้อ 5.3 เป็นการศึกษาการประมาณค่า โดยทำการจำลองการประมาณค่าความร้อนภายในเครื่องปฏิกรณ์เคมีแบบแบตช์ ที่มีปฏิกิริยาคายความร้อนโดยใช้ตัวกรองคาลมานเปรียบเทียบกับการประมาณค่าเอกซ์โพเนนเชียลที่ Cott และ Macchietto (1989) ใช้ประมาณค่าความร้อนที่เกิดในเครื่องปฏิกรณ์และในหัวข้อที่ 5.4 แสดงผลการจำลองการใช้การควบคุมแบบโมเดลพรีดิกทีฟร่วมกับตัวแปรประมาณค่าความร้อนร่วมกับตัวกรองคาลมาน และในหัวข้อที่ 5.5 จะเป็นการทดสอบการใช้งานระบบควบคุมโมเดลพรีดิกทีฟภายใต้สภาวะที่แบบจำลองผิดพลาดจากกระบวนการจริง โดยเขียนแบบจำลองบนโปรแกรมสำเร็จรูปแมทแลบ

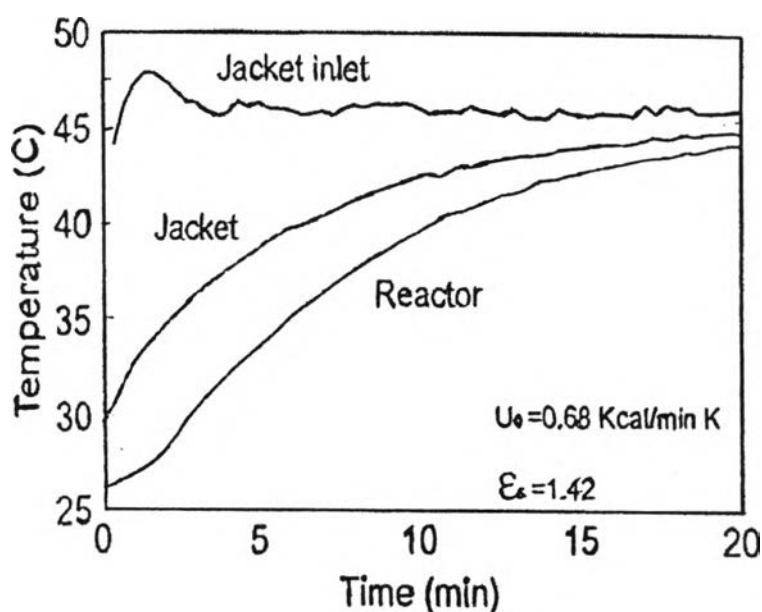
5.1 ผลการทดลองและการวิเคราะห์ปฏิกิริยา

ผลการจำลองกระบวนการเกิดปฏิกิริยาฟรี-แรดิคัลพอลิเมอร์ไรเซชัน ในเครื่องปฏิกรณ์แบบแบตช์ จากบทความของ Crowley และ Choi (1996) ลงบนโปรแกรมสำเร็จรูปแมทแลบแล้วใช้เทคนิคการแก้ปัญหเชิงตัวเลข (Numerical Technique) วิธีรุง-กัตตา อันดับที่ 4 (Rung-kutta 4th order) แก่สมการอนุพันธ์ โดยกำหนดช่วงเวลาสุ่มตัวอย่างที่ใช้ในคำนวณ 0.03 นาที สามารถหาค่าตัวแปรสเทตจากสมการแบบจำลองกระบวนการดังที่ได้กล่าวไว้แล้วในบทที่ 4 ค่าพารามิเตอร์จลนพลศาสตร์ โดยค่าเริ่มต้นของสภาวะการดำเนินการ ค่าทางกายภาพที่ใช้ในการจำลอง แสดงไว้ในตารางที่ 4.1-4.3

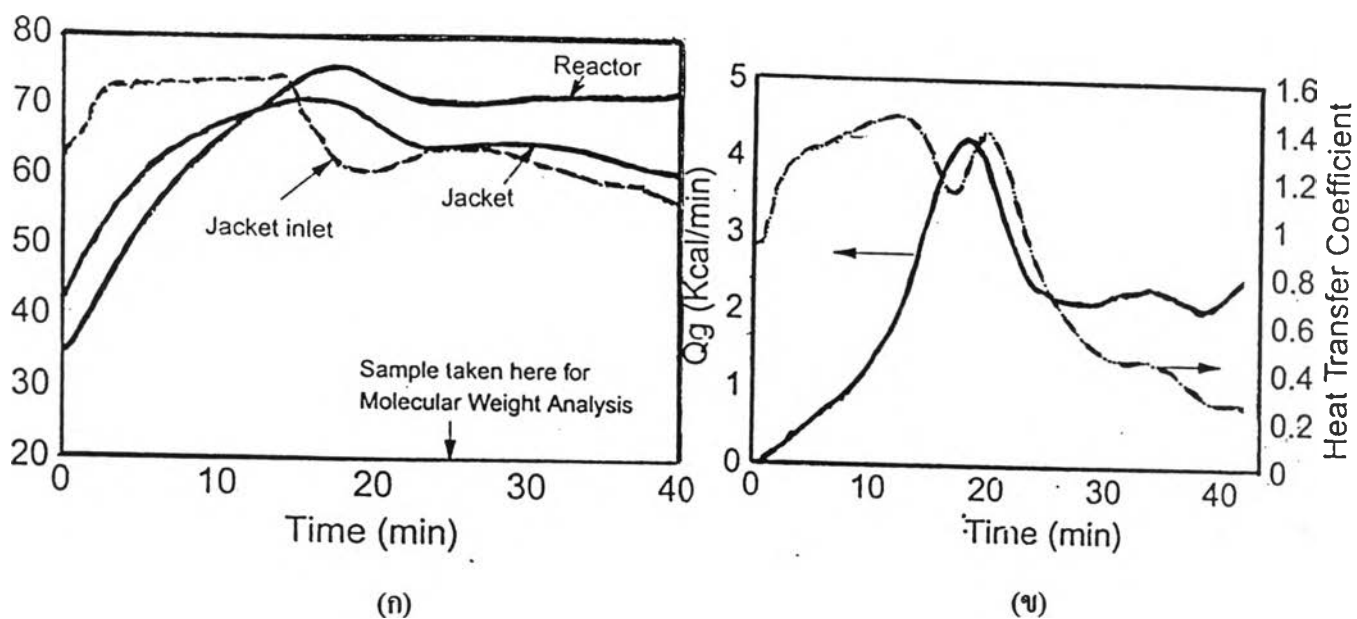
โดยทำการจำลองกระบวนการ 2 กรณีได้แก่ กรณีที่ไม่มีการควบคุม กำหนดให้อุณหภูมิของน้ำแจ็กเก็ตเซตพอยท์มีค่าคงที่เท่ากับ 45 เซลเซียส และกรณีเมื่อทำการควบคุมด้วยตัวควบคุมพีไอดี ซึ่งผลการจำลองแสดงกราฟเปรียบเทียบกับในบทความ ดังรูปที่ 5.1 (ก) และ (ข) แสดงค่าพารามิเตอร์ที่ใช้ในการจูน ได้ดังตารางที่ 5.1 ผลดังรูปที่ 5.2 (ก) และ (ข)



รูปที่ 5.1 (ก) ผลตอบสนองอุณหภูมิภายในเครื่องปฏิกรณ์เคมีพอลิเมอร์แบบแบดซ์ งานวิจัยของ Crowley และ Choi (1996) ในกรณี 1 (ไม่มีการควบคุม) : ผลจากการจำลอง



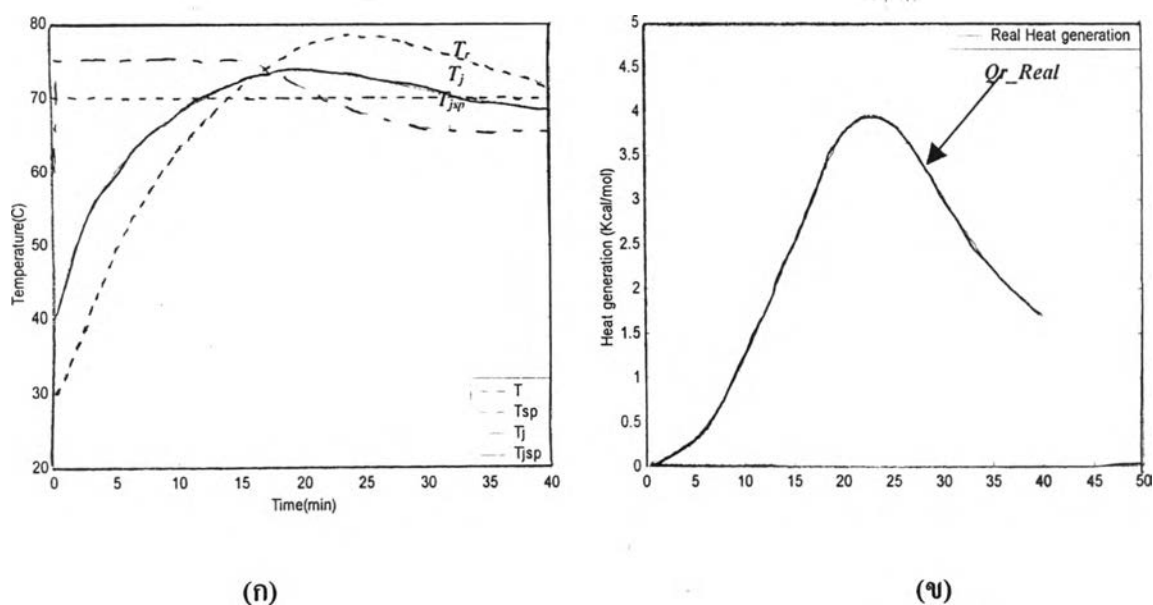
รูปที่ 5.1 (ข) ผลตอบสนองอุณหภูมิภายในเครื่องปฏิกรณ์เคมีพอลิเมอร์แบบแบดซ์ งานวิจัยของ Crowley และ Choi (1996) ในกรณี 1 (ไม่มีการควบคุม) : ผลที่เสนอในบทความ (Crowley และ Choi, 1996)



รูปที่ 5.2 ผลการจำลองภายในเครื่องปฏิกรณ์เคมีพอลิเมอร์แบบแบตช์ ที่เสนอในบทความงานวิจัยของ (Crowley และ Choi, 1996) ในกรณี 2 (เมื่อควบคุมด้วยพีไอดี)

(ก) ผลตอบสนองอุณหภูมิภายในเครื่องปฏิกรณ์

(ข) ผลตอบสนองความร้อนที่เกิดภายในเครื่องปฏิกรณ์



รูปที่ 5.3 ผลการจำลองภายในเครื่องปฏิกรณ์เคมีพอลิเมอร์แบบแบตช์ งานวิจัยของ Crowley และ Choi ในกรณี 2 (เมื่อควบคุมด้วยพีไอดี) : ในงานวิจัยนี้

(ก) ผลตอบสนองอุณหภูมิภายในเครื่องปฏิกรณ์

(ข) ผลตอบสนองความร้อนที่เกิดภายในเครื่องปฏิกรณ์

ตารางที่ 5.1 ค่าคงที่ที่ใช้สำหรับการจําลองระบบควบคุมแบบเชิงเส้นพีไอดี

| สัญลักษณ์ | อธิบาย | ค่า |
|-----------|---------------|-----------|
| K_c | เวลาอินทิกรัล | 0.5 |
| τ_I | เวลาอนุพันธ์ | 7 |
| τ_D | ค่าคงที่เกน | 10^{-5} |

จากผลการจำลองการควบคุมอุณหภูมิของเครื่องปฏิกรณ์ ทั้งสองกรณีตามบทความของ Crowley และ Choi (1996) จะพบว่ากรณีที่ไม่มี การควบคุม อุณหภูมิของแจ็กเก็ตค่าคงที่ที่ 45 เซลเซียส (รูปที่ 5.1) และกรณีการควบคุมด้วยตัวควบคุมพีไอดี (ตามรูปที่ 5.2 และ 5.3) พบว่าการประมาณค่าความร้อนที่คายออกจากปฏิกิริยาให้ค่าสูงสุดประมาณ 4 กิโลแคลอรีต่ออนาทีเท่านั้น ซึ่งแสดงว่าระบบจากบทความนี้ค่าความร้อนที่คายออกจากปฏิกิริยามีค่าน้อย ทั้งนี้สาเหตุเนื่องจาก ระบบที่จำลองนั้นมีขนาดของเครื่องปฏิกรณ์เล็ก สารตั้งต้นที่ใช้ปริมาณน้อยมาก จึงส่งผลให้ค่าความร้อนที่คายออกมาจากเครื่องปฏิกรณ์จึงมีปริมาณน้อยอยู่ จากกราฟแสดงว่าสถานะที่ดำเนินการยังสามารถทำการควบคุมได้ด้วยตัวควบคุมพีไอดี ถ้าทำการจูนค่าพารามิเตอร์ที่ดี แต่อย่างไรก็ตาม ระบบไม่มีความรุนแรงเพียงพอที่จะนำมาทำการควบคุมและเปรียบเทียบให้เห็นสมรรถนะและความทนทานของตัวควบคุมที่จะเลือกใช้ ในงานวิจัยนี้จึงได้ทำการศึกษาระบบที่ทำการควบคุมอุณหภูมิของเครื่องปฏิกรณ์ของพอลิเมอร์แบบเบตซ์ที่มีแบบจำลองจลนพลศาสตร์แบบเดียวกันเหมือนในงานวิจัยนี้

จากการศึกษางานวิจัยที่ผ่านมา พบว่าบทความ Kim (1991) ซึ่งศึกษาการควบคุมอุณหภูมิของเครื่องปฏิกรณ์แบบเบตซ์ที่มีปฏิกิริยาคายความร้อนของพอลิเมอร์ที่สนใจ ใกล้เคียงกับบทความ Crowley และ Choi (1996) พารามิเตอร์ที่ใช้ในระดับอุตสาหกรรมโรงงาน โมโนเมอร์สารตั้งต้นที่ใช้ปริมาณมาก เมื่อทำการจำลองกระบวนการเพื่อศึกษาพฤติกรรมทางพลวัตเบื้องต้น พบว่าความร้อนที่คายออกมาขณะเกิดปฏิกิริยามีค่ามาก ระบบมีความรุนแรงของตัวแปรปรับเมื่อทำการควบคุมอุณหภูมิของเครื่องปฏิกรณ์ให้อยู่ที่อุณหภูมิเป้าหมาย เป็นระบบที่ทำให้ท้อและน่าสนใจเพียงพอและเหมาะสมที่จะนำมาทำการควบคุมและเปรียบเทียบให้เห็นสมรรถนะและความทนทานของตัวควบคุม โมเดลพรีดิกทีฟและเจเนริก โมเดลที่เลือกทำในงานวิจัยนี้ ซึ่งค่าพารามิเตอร์ของบทความของ Kim (1991) ใช้ค่าเดียวกันกับตารางที่ 4.1 ถึง 4.2 และค่าเริ่มต้นใช้ของตารางที่ 4.4 ในการจำลองกระบวนการเพื่อทำการควบคุมต่อไป

5.2 ผลการควบคุมอุณหภูมิของเครื่องปฏิกรณ์เคมีพอลิเมอร์

ผลการทดลองการจำลองกระบวนการ Kim (1991) เสนอการทดลองเป็น สองกรณี ดังนี้

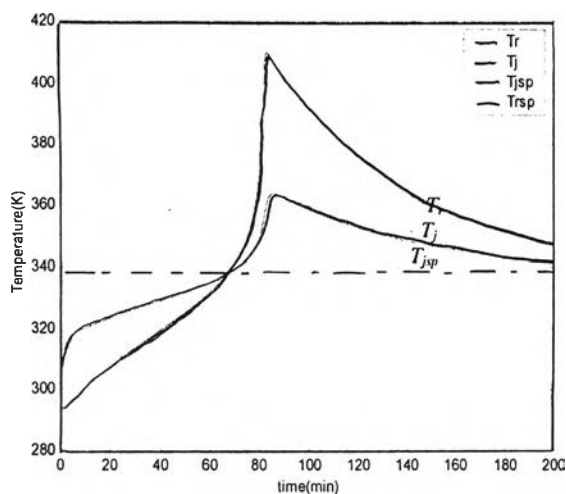
5.2.1 การควบคุมแบบดูเปิด (ไม่มีระบบควบคุม)

การจำลองนี้ เพื่อศึกษาพฤติกรรมเชิงพลวัตของเครื่องปฏิกรณ์เคมีแบบเบตซ์ ที่เกิดปฏิกิริยาพอลิเมอร์ไรเซชัน และปฏิกิริยาการคายความร้อนในเครื่องปฏิกรณ์การเกิดปฏิกิริยาพอลิเมอร์ไรเซชันเมื่อไม่มีการควบคุมอุณหภูมิในเครื่องปฏิกรณ์ (และกำหนดให้อุณหภูมิแฉก่เกิดมีค่าคงที่ตลอดเท่ากับ 338.15 เคลวิน (65 เซลเซียส) ผลของการจำลองเป็นไปตามรูปกราฟที่ 5.4 (ก) – (ง)

จากกราฟแสดงผลการจำลองกระบวนการ (รูปที่ 5.4) เมื่อเริ่มให้ความร้อนกับเครื่องปฏิกรณ์เพื่อเพิ่มอุณหภูมิของเครื่องปฏิกรณ์พอลิเมอร์ จากอุณหภูมิเริ่มต้น 20 เซลเซียส (293.15 เคลวิน) จนกระทั่งถึงค่าอุณหภูมิเป้าหมายคือ 65 เซลเซียส (338.15 เคลวิน) โดยต้องการควบคุมอุณหภูมิของเครื่องปฏิกรณ์ ให้อยู่ที่ค่าที่อุณหภูมิเป้าหมายนี้ๆ ให้เกิดปฏิกิริยาเปลี่ยนแปลงโมโนเมอร์สารตั้งต้นไปเป็นผลิตภัณฑ์พอลิเมอร์ ทั้งนี้ก็มีวัตถุประสงค์เพื่อให้ได้ผลิตภัณฑ์พอลิเมอร์หลังเสร็จสิ้นกระบวนการมีสมบัติตามที่ต้องการ

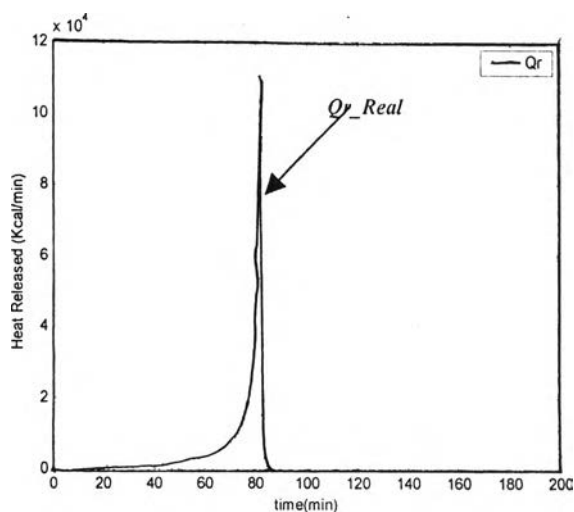
จะพบว่าในกรณีศึกษาเมื่อไม่มีการควบคุมอุณหภูมิของเครื่องปฏิกรณ์ โดยกำหนดให้อุณหภูมิของแฉก่เกิดมีค่าคงที่ที่ 65 เซลเซียส (338.15 เคลวิน) ตลอดการจำลองพบว่าเมื่อเริ่มปฏิกิริยาการเกิดปฏิกิริยาพอลิเมอร์ไรเซชัน อุณหภูมิของเครื่องปฏิกรณ์ในช่วงแรกๆเพิ่มขึ้นอย่างช้าๆและเมื่อค่าของอุณหภูมิของเครื่องปฏิกรณ์เพิ่มขึ้นเรื่อยๆจนเข้าใกล้ค่าอุณหภูมิเป้าหมายจะพบว่าเกิดการเกิดปฏิกิริยามีมากขึ้นอย่างรวดเร็ว และค่าของความร้อนที่ปล่อยออกมาจากปฏิกิริยาก็จะมีมากขึ้น ทั้งนี้เนื่องมาจากค่าของความร้อนที่ปล่อยออกมาจากปฏิกิริยา สัมพันธ์กับค่าของอุณหภูมิของเครื่องปฏิกรณ์แบบเอกซ์โพเนนเชียลและแปรผันกับปริมาณสารโมโนเมอร์ ตามที่ได้เสนอไปแล้วในเรื่องการประมาณค่าความร้อนในบทที่ 4 จากที่ค่าของความร้อนที่คายออกมาจากปฏิกิริยา ส่งผลให้การเกิดปฏิกิริยามีมากขึ้น (สังเกตจากค่าความชันที่เพิ่มขึ้นของค่าคอนเวอร์ชันหรือความเข้มข้นของโมโนเมอร์ที่ลดลงในเครื่องปฏิกรณ์) การที่ปฏิกิริยาเกิดขึ้นอย่างรวดเร็วจะให้ความร้อนที่เกิดขึ้นจากปฏิกิริยาก็มีค่าสูง พบว่าอุณหภูมิของเครื่องปฏิกรณ์เกิดการโอเวอร์ชูตถึง 410 เคลวิน ที่เวลา 80 นาที จนเมื่อการเกิดปฏิกิริยาของสารตั้งต้นนี้หมดไปแล้ว อุณหภูมิของเครื่องปฏิกรณ์ จึงลดลงจนกระทั่งเท่ากับอุณหภูมิของแฉก่เกิดในที่สุด

สรุปได้ว่า เมื่อไม่มีการควบคุมอุณหภูมิการเกิดของปฏิกิริยาพอลิเมอร์ไรเซชัน ในเครื่องปฏิกรณ์แบบเบตซ์ ไม่สามารถทำการควบคุมอุณหภูมิของเครื่องปฏิกรณ์ให้อยู่ในช่วงที่ยอมรับ



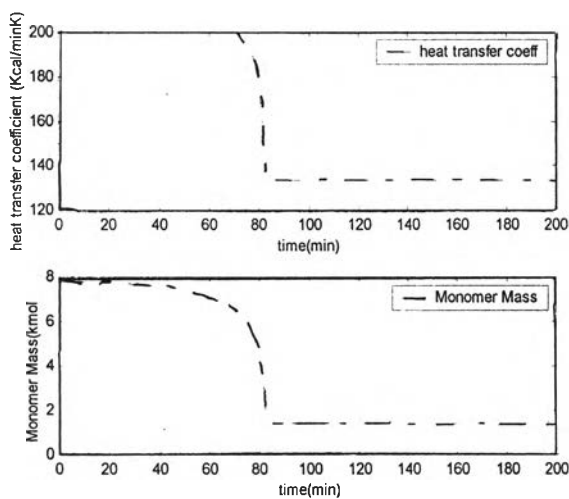
(ก)

รูปที่ 5.4 (ก) ผลตอบสนองอุณหภูมิภายในเครื่องปฏิกรณ์เคมีพอลิเมอร์แบบเบตซ์ กับเวลา สำหรับการควบคุมแบบลูเปิด



(ข)

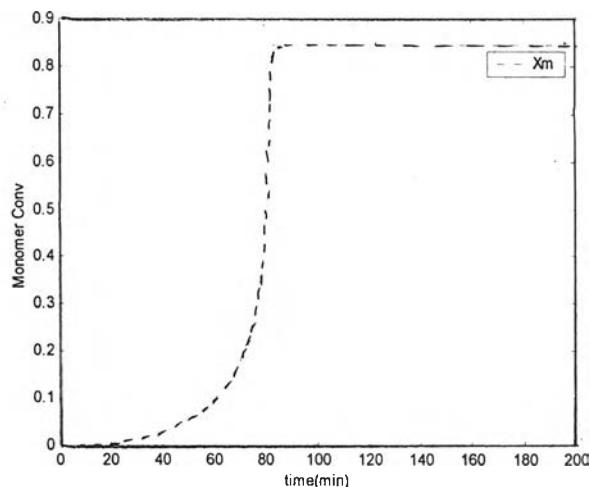
รูปที่ 5.4 (ข) ผลตอบสนองความร้อนที่เกิดภายในเครื่องปฏิกรณ์เคมีพอลิเมอร์แบบเบตซ์กับเวลา สำหรับการควบคุมแบบลูเปิด



(ค)

รูปที่ 5.4 (ค)บน ผลตอบสนองค่าสัมประสิทธิ์การถ่ายเทความร้อนรวมอุณหภูมิภายในเครื่องปฏิกรณ์เคมีพอลิเมอร์แบบเบตซ์ กับเวลา

รูปที่ 5.4 (ค)ล่าง ผลตอบสนองความเข้มข้นของโมโนเมอร์ภายในเครื่องปฏิกรณ์เคมีพอลิเมอร์แบบเบตซ์กับเวลา



(ง)

รูปที่ 5.4 (ง) ผลตอบสนองคอนเวอร์ชันของโมโนเมอร์ภายในเครื่องปฏิกรณ์เคมีพอลิเมอร์แบบเบตซ์กับเวลา

ได้แม้ว่าคอนเวอร์ชันของโมโนเมอร์จะมีค่าสูงมากถึง 85 เปอร์เซ็นต์ หลังจากเสร็จสิ้นปฏิกิริยาในแบบซ์ ทำให้ผลิตภัณฑ์ที่ได้หลังสิ้นกระบวนการไม่ได้สมบัติตามที่เรต้องการ (out-off-spec)

5.2.2 การควบคุมแบบรูปปิด (ตัวควบคุมพีไอดีและเจเนริกโมเดล)

หัวข้อนี้เป็นการศึกษาพฤติกรรมเชิงพลวัตการควบคุมอุณหภูมิของเครื่องปฏิกรณ์ที่เกิดปฏิกิริยาคายความร้อน เมื่อมีการควบคุมด้วยตัวควบคุมเชิงเส้นพื้นฐานที่ใช้กันมาในอุตสาหกรรม (พีไอดี) และ เมื่อมีการควบคุมด้วยตัวควบคุมไม่เชิงเส้นแบบอาศัยแบบจำลองแบบง่ายที่สุด (เจเนริกโมเดล)

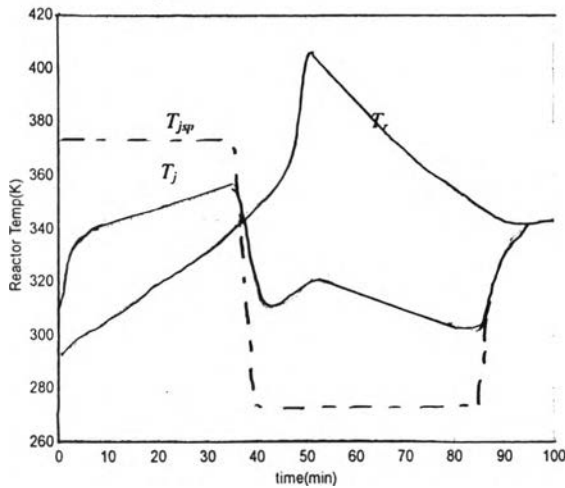
ผลการจำลองเครื่องปฏิกรณ์ที่เกิดปฏิกิริยาพอลิเมอไรเซชัน เมื่อมีวัตถุประสงค์เพื่อต้องการควบคุมอุณหภูมิในเครื่องปฏิกรณ์ ให้อยู่ที่ค่าเป้าหมายคือ 338.15 เคลวิน (65 เซลเซียส) ผลการตอบสนองของการจำลองที่ให้โปรไฟล์ที่ดีที่สุด แสดงตามรูปกราฟที่ 5.5 (ก)–(ง) และ 5.7 (ก)–(ง) ค่าพารามิเตอร์ที่ใช้ในการจูนพีไอดีและเจเนริกโมเดลแสดงได้ดังตารางที่ 5.2

ตารางที่ 5.2 ค่าคงที่ที่ใช้สำหรับการจูนระบบควบคุมแบบเชิงเส้นพีไอดีและเจเนริกโมเดล

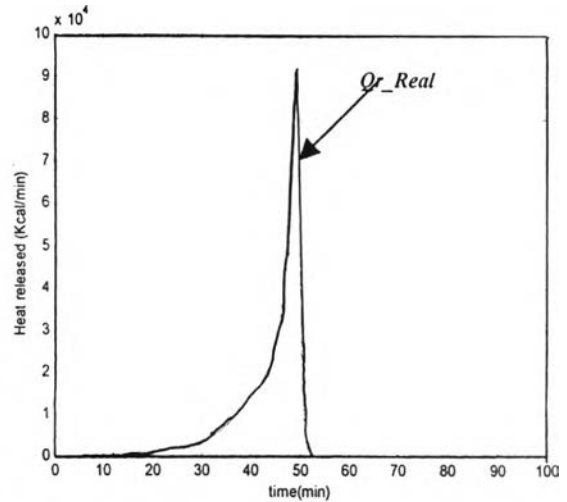
| ตัวควบคุม | สัญลักษณ์ | คำอธิบาย | ค่า |
|--------------|-----------|---------------|---------|
| พีไอดี | K_c | เวลาอินทิกรัล | 1.25 |
| | τ_I | เวลาอนุพันธ์ | 5000 |
| | τ_D | ค่าคงที่เกน | 0.00145 |
| เจเนริกโมเดล | ζ | เวลาอนุพันธ์ | 10 |
| | τ | ค่าคงที่เกน | 20 |

จากผลการจำลองเครื่องปฏิกรณ์เคมีพอลิเมอไรเซชันแบบแบตซ์ ที่เกิดปฏิกิริยาพอลิเมอไรเซชัน เมื่อควบคุมอุณหภูมิในเครื่องปฏิกรณ์ด้วยตัวควบคุมพีไอดีและเจเนริกโมเดล ค่าพารามิเตอร์ที่ให้โปรไฟล์ของอุณหภูมิภายในเครื่องปฏิกรณ์เคมีพอลิเมอไรเซชันที่ดีที่สุดของแต่ละกรณี แสดงในตารางที่ 5.2 ในงานวิจัยนี้ดัชนีสมรรถนะของการควบคุมอุณหภูมิวัดจากค่าอินทิกรัลของกำลังสองของความผิดพลาด หรือค่าไอเอสอี (Integral of the Square of the Error, ISE)

$$ISE = \int_0^{\infty} e^2(t) dt \quad (5.1)$$



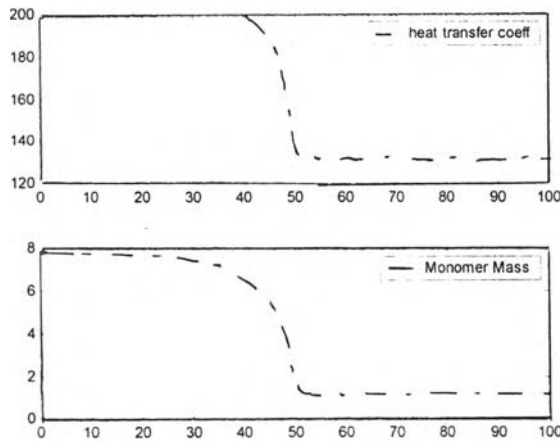
(ก)



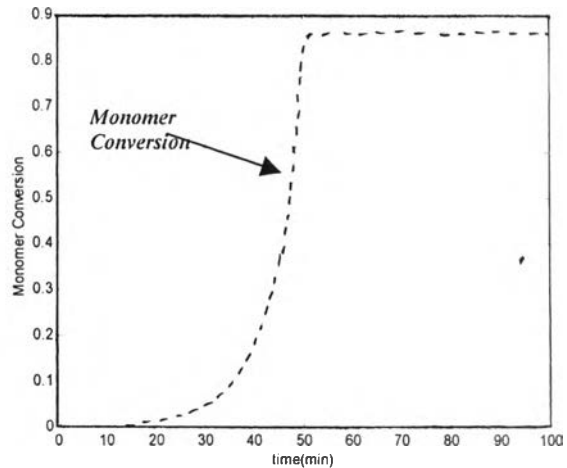
(ข)

รูปที่ 5.5 (ก) ผลตอบสนองอุณหภูมิภายในเครื่องปฏิกรณ์เคมีพอลิเมอร์แบบแบตช์ กับเวลา สำหรับการควบคุมระบบลูปปิดด้วยพีไอดี

รูปที่ 5.5 (ข) ผลตอบสนองความร้อนที่เกิดภายในเครื่องปฏิกรณ์เคมีพอลิเมอร์แบบแบตช์กับเวลา สำหรับการควบคุมระบบลูปปิดด้วยพีไอดี



(ค)

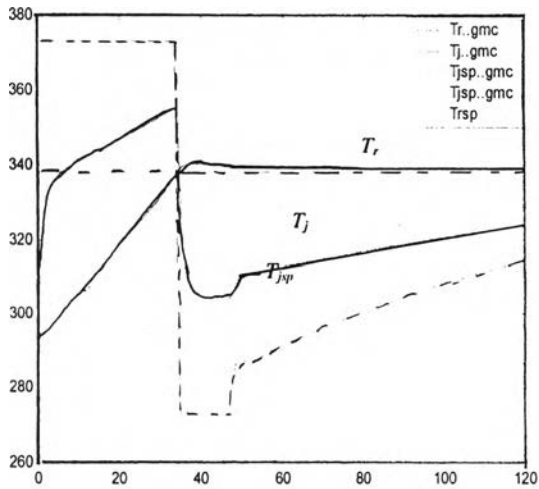


(ง)

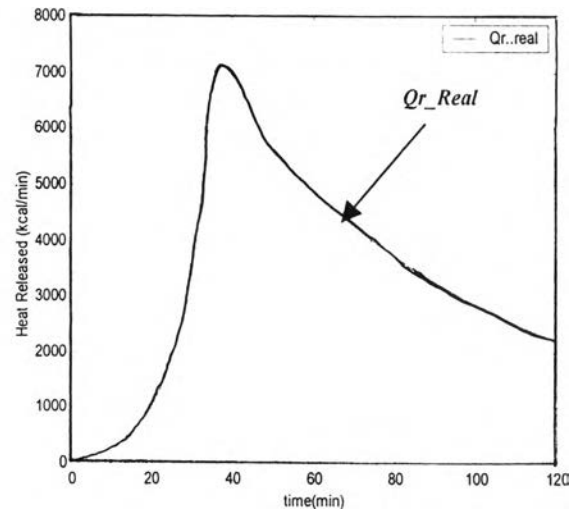
รูปที่ 5.5 (ค)บน ผลตอบสนองค่าสัมประสิทธิ์การถ่ายเทความร้อนรวมอุณหภูมิภายในเครื่องปฏิกรณ์เคมีพอลิเมอร์แบบแบตช์ กับเวลา สำหรับการควบคุมระบบลูปปิดด้วยพีไอดี

รูปที่ 5.5 (ค)ล่าง ผลตอบสนองความเข้มข้นของโมโนเมอร์ภายในเครื่องปฏิกรณ์เคมีพอลิเมอร์แบบแบตช์กับเวลา สำหรับการควบคุมระบบลูปปิดด้วยพีไอดี

รูปที่ 5.5 (ง) ผลตอบสนองคอนเวอร์ชันของโมโนเมอร์ภายในเครื่องปฏิกรณ์เคมีพอลิเมอร์แบบแบตช์กับเวลา สำหรับการควบคุมระบบลูปปิดด้วยพีไอดี



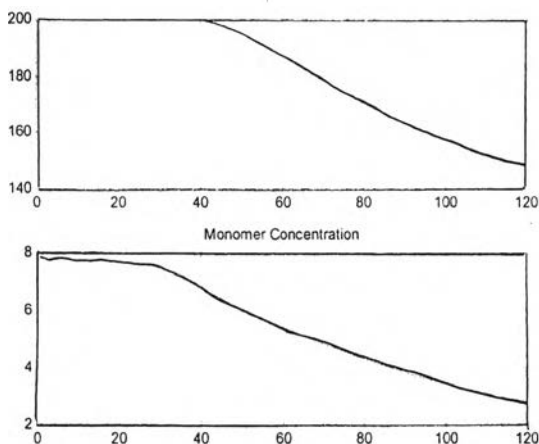
(ก)



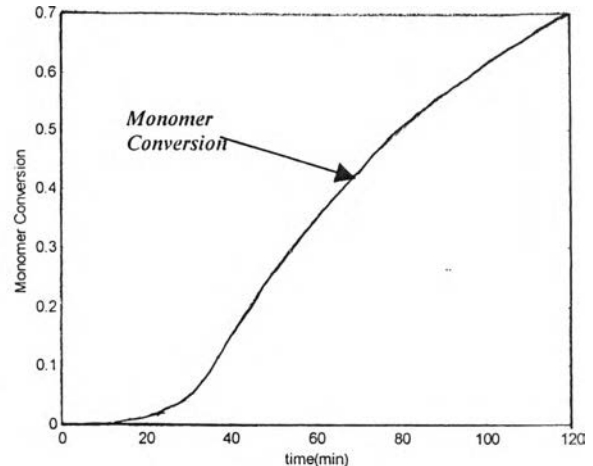
(ข)

รูปที่ 5.6 (ก) ผลตอบสนองอุณหภูมิภายในเครื่องปฏิกรณ์เคมีพอลิเมอร์แบบแบตช์ กับเวลา สำหรับการควบคุมระบบลูปปิดด้วยเจเนริกโมเดล

รูปที่ 5.6 (ข) ผลตอบสนองความร้อนที่เกิดภายในเครื่องปฏิกรณ์เคมีพอลิเมอร์แบบแบตช์กับเวลา สำหรับการควบคุมระบบลูปปิดด้วยเจเนริกโมเดล



(ค)



(ง)

รูปที่ 5.6 (ค)บน ผลตอบสนองค่าสัมประสิทธิ์การถ่ายเทความร้อนรวมกับเวลา สำหรับการควบคุมระบบลูปปิดด้วยเจเนริกโมเดล

รูปที่ 5.6 (ค)ล่าง ผลตอบสนองความเข้มข้นของโมโนเมอร์ภายในเครื่องปฏิกรณ์เคมีพอลิเมอร์แบบแบตช์กับเวลา สำหรับการควบคุมระบบลูปปิดด้วยเจเนริกโมเดล

รูปที่ 5.6 (ง) ผลตอบสนองคอนเวอร์ชันของโมโนเมอร์ภายในเครื่องปฏิกรณ์เคมีพอลิเมอร์แบบแบตช์กับเวลา สำหรับการควบคุมระบบลูปปิดด้วยเจเนริกโมเดล

สำหรับงานวิจัยนี้

1. สมรรถนะของการควบคุมอุณหภูมิคำนวณจากสมการ (5.1)

โดย กำหนดให้ e คือ ผลต่างของ T_r กับ T_{rsp}

2. สมรรถนะของการประมาณค่าความร้อนคำนวณจากสมการ (5.1)

โดย กำหนดให้ e คือ ผลต่างของ Q_r จริงที่คำนวณมาจากสมการดุลพลังงานภายในเครื่องปฏิกรณ์ ที่เปลี่ยนกับเวลากับ Q_c จากสมการการประมาณค่าความร้อนของตัวกรอง

ดัชนีสมรรถนะการควบคุมอุณหภูมิที่ดีที่สุดและการประมาณค่าความร้อนของแต่ละกรณี แสดงในตารางที่ 5.3

ตารางที่ 5.3 ตารางแสดงค่าดัชนีสมรรถนะของการควบคุมในกรณีปกติ (พีไอดีและเจเนริกโมเดล)

| ตัวควบคุม | ดัชนีสมรรถนะ ($ISE \cdot 10^4$) การควบคุมอุณหภูมิในเครื่องปฏิกรณ์ | ดัชนีสมรรถนะ ($ISE \cdot 10^9$) การประมาณค่าความร้อน |
|-----------|--|---|
| PID | 8.5910 | 0.6168 |
| GMC | 2.4232 | 0.0116 |

จากผลการทดลองการจำลองในกรณีปกติ พบว่าตัวควบคุมพีไอดีไม่สามารถทำการควบคุมอุณหภูมิเครื่องปฏิกรณ์กระบวนการเคมีพอลิเมอร์แบบแบตช์ในงานวิจัยนี้ได้ สังเกตได้จากโปรไฟล์การควบคุมอุณหภูมิ (รูปที่ 5.5(ก)-(ง)) ของเครื่องปฏิกรณ์ให้ค่าอุณหภูมิสูงเกินค่าของอุณหภูมิเป้าหมายที่ตั้งไว้มาก เนื่องจากปฏิกิริยาพอลิเมอไรเซชันการเกิดปฏิกิริยาจะคายความร้อนออกมาสูง การคำนวณอุณหภูมิแฉกเกิดเมื่อทำการควบคุมด้วยพีไอดีไม่สามารถปรับตัวทันกับการเปลี่ยนแปลงของกระบวนการ เนื่องจากเป็นตัวควบคุมแบบเชิงเส้นและไม่มีแบบจำลอง ซึ่งจะทำให้การควบคุมเมื่อเกิดความผิดพลาดขึ้น ซึ่งพีไอดีไม่ทราบถึงการเปลี่ยนแปลงทางพลวัต ส่งผลให้การควบคุมอุณหภูมิของเครื่องปฏิกรณ์ไม่ทันเกิดการรันอเวย์ของอุณหภูมิ (Thermal Runaway)

สำหรับการควบคุมด้วยเจเนริกโมเดล จากผลการจำลองการควบคุมอุณหภูมิเครื่องปฏิกรณ์ จากกราฟภาคผนวก ข.2 แสดงการจูนระบบควบคุมเจเนริกโมเดล พบว่าพารามิเตอร์ $\xi = 10$ $\tau = 20$ สามารถควบคุมโปรไฟล์อุณหภูมิภายในเครื่องปฏิกรณ์ให้เข้าสู่อุณหภูมิเป้าหมายที่ตั้งไว้ (65 เซลเซียส) ให้ผลการควบคุมอุณหภูมิต่ำที่สุด ให้อุณหภูมิภายในเครื่องปฏิกรณ์ที่มี

โอเวอร์ฮีตเล็กน้อย แต่ยังอยู่ในช่วงที่ยอมรับได้ ส่งผลทำให้สารพอลิเมอร์ผลิตภัณฑ์ที่ได้ มีสมบัติดีที่สุด พบว่าสามารถทำการควบคุมอุณหภูมิกระบวนการเคมีพอลิเมอร์แบบแบตช์ได้ดีกว่าพีไอดี ค่าของอุณหภูมิในเครื่องปฏิกรณ์สามารถควบคุมได้ใกล้เคียงกับค่าอุณหภูมิเป้าหมายเป้าหมายจากโปรไฟล์ของอุณหภูมิ(รูปข้างต้น) รวมทั้งจากค่าดัชนีสมรรถนะการควบคุมอุณหภูมิมีน้อยกว่ากรณีการควบคุมอุณหภูมิด้วยพีไอดี ทั้งนี้เนื่องจากการควบคุมเจเนริกโมเดลเป็นการควบคุมที่อาศัยแบบจำลองจึงสามารถทำการปรับอุณหภูมิของเซตพอยท์แอคทีวได้ดีกว่า จึงทำให้สามารถควบคุมอุณหภูมิในกระบวนการเคมีพอลิเมอร์แบบแบตช์ได้ดีกว่าพีไอดีซึ่งจากผลการทดลองทำให้เชื่อได้ว่าเหมาะสมที่จะนำไปทดสอบเปรียบเทียบกับโมเดลพรีดิกทีฟ

สรุปได้ว่า การควบคุมด้วยตัวควบคุมแบบที่อาศัยแบบจำลองให้สมรรถนะในการควบคุมอุณหภูมิในกระบวนการเคมีพอลิเมอร์แบบแบตช์ได้ดีกว่าการควบคุมด้วยตัวควบคุมแบบที่ไม่อาศัยแบบจำลอง ในงานวิจัยนี้จึงได้เลือกนำเอาเจเนริกโมเดลมาทำการเปรียบเทียบสมรรถนะกับความทนทานกับโมเดลพรีดิกทีฟในการควบคุมอุณหภูมิในกระบวนการเคมีพอลิเมอร์แบบแบตช์ได้จำลองกระบวนการขึ้น เนื่องมาจากเป็นการควบคุมแบบอาศัยแบบจำลองเหมือนกัน

5.3 การจำลองการประมาณค่าความร้อนภายในเครื่องปฏิกรณ์เคมีแบบแบตช์

จากผลการจำลองกระบวนการทุกกรณีที่ผ่านมา กรณีไม่มีการควบคุม กรณีที่มีการควบคุมด้วยพีไอดีและเจเนริกโมเดล พบว่าเมื่อให้ความร้อนกับเครื่องปฏิกรณ์พฤติกรรมทางพลวัตของอุณหภูมิของเครื่องปฏิกรณ์มีค่าสูงขึ้น ภายในเครื่องปฏิกรณ์เคมีแบบแบตช์จะเกิดปฏิกิริยา ซึ่งมีการคายความร้อนที่ปล่อยออกมาจากปฏิกิริยามากขึ้น ทั้งนี้เนื่องมาจากค่าของความร้อนที่เกิดมาจากปฏิกิริยาคายความร้อนสัมพันธ์กับค่าของอุณหภูมิของเครื่องปฏิกรณ์แบบเอกซ์โพเนนเชียลและแปรผันกับปริมาณสารโมโนเมอร์ตามสมการดุลมวลสารและพลังงานของเครื่องปฏิกรณ์ จากที่ค่าของความร้อนที่คายออกมาส่งผลให้เกิดปฏิกิริยามีความรุนแรงมากขึ้น เพราะอัตราการเกิดปฏิกิริยามีความสัมพันธ์กับค่าของอุณหภูมิตามความสัมพันธ์ของสมการอาร์เรเนียส ผลการเกิดปฏิกิริยามีความรุนแรงมาก ก็หมายถึงค่าคอนเวอร์ชันที่มาก ซึ่งค่าของสัมประสิทธิ์การถ่ายเทความร้อนของแอคทีวก็ลดลงอย่างรวดเร็ว ซึ่งมีผลต่อการควบคุมอุณหภูมิของปฏิกิริยาพอลิเมอร์ไรเซชันในเครื่องปฏิกรณ์แบบแบตช์ จะทำให้ผลิตภัณฑ์ที่ได้หลังสิ้นกระบวนการไม่ได้สมบัติตามที่เรารต้องการ

จากงานวิจัยที่ผ่านมา การประมาณค่ามักจะใช้ร่วมกับการควบคุมเสมอในงานวิจัย เนื่องจากความจริงที่ว่า ค่าพารามิเตอร์มีความผิดพลาดอยู่แล้วในตัวเองเนื่องมาจากการจำลองกระบวนการมักมีข้อสมมุติฐานต่างๆที่ใช้ในการจำลองกระบวนการ และในกรณีที่ค่าสเทปบางตัวไม่สามารถ

ทำการวัดได้ และนอกจากนี้เพื่อให้การควบคุมแบบออสัยแบบจำลองมีประสิทธิภาพยิ่งขึ้นในการควบคุม ในงานวิจัยนี้จะทำการเปรียบเทียบประสิทธิภาพการประมาณค่าความร้อนที่เกิดจากปฏิกิริยา โดยใช้หลักการของการประมาณค่าตัวกรองแบบเอกซ์โพเนนเชียล เปรียบเทียบกับประมาณค่าด้วยตัวกรองคาลมาน เพื่อให้เห็นสมรรถนะและประสิทธิภาพการประมาณค่า ทั้งกรณีที่ไม่มีการควบคุม(ลูเปิด) และเมื่อมีการควบคุม(ลูปิด)

5.3.1 เปรียบเทียบการประมาณค่าแบบลูเปิด

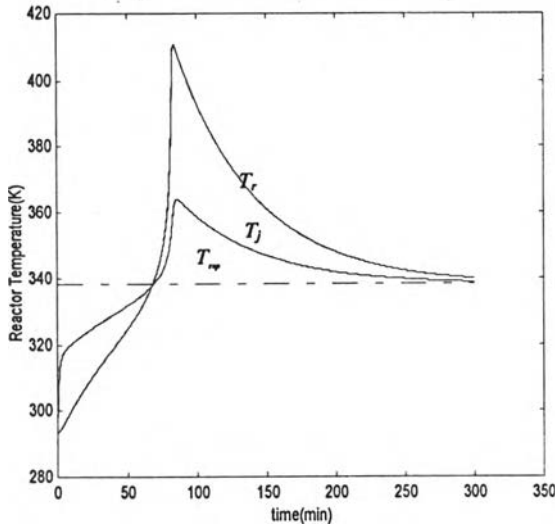
การจำลองระบบลูเปิดเมื่อมีระบบประมาณค่า ในงานวิจัยนี้จะทำการเปรียบเทียบค่าความร้อนที่ประมาณได้จริงกับค่าความร้อนที่เกิดขึ้นจริงในเครื่องปฏิกรณ์เคมีพอลิเมอร์แบบแบตช์ ซึ่งจะทำให้การเปรียบเทียบกับค่าความร้อนที่ได้จากการประมาณโดยอาศัยหลักการเอกซ์โพเนนเชียล เปรียบเทียบกับการประมาณของตัวกรองคาลมาน ดังที่ได้กล่าวไว้ในบทที่ 5 โดยพารามิเตอร์ที่ใช้จากระบบประมาณค่าตัวกรองคาลมานแสดงไว้ในตารางที่ 5.4 ผลการจำลองเปรียบเทียบการประมาณแสดงในรูปที่ 5.7 ในงานวิจัยนี้ใช้ค่าประมาณ (ISE) เป็นดัชนีวัดสมรรถนะของการประมาณค่าความร้อนของปฏิกิริยาสำหรับเปรียบเทียบประสิทธิภาพในการประมาณโดยคำนวณจากผลรวมกำลังสองของผลต่างระหว่างค่าความร้อนที่เกิดขึ้นจริงกับค่าที่ได้จากการประมาณที่เปลี่ยนแปลงตามเวลา ซึ่งได้อธิบายมาแล้ว แสดงค่าในตารางที่ 5.5

ตารางที่ 5.4 ค่าตัวแปรที่ใช้ในการประมาณค่าความร้อนโดยใช้ตัวกรองคาลมานในระบบลูเปิด

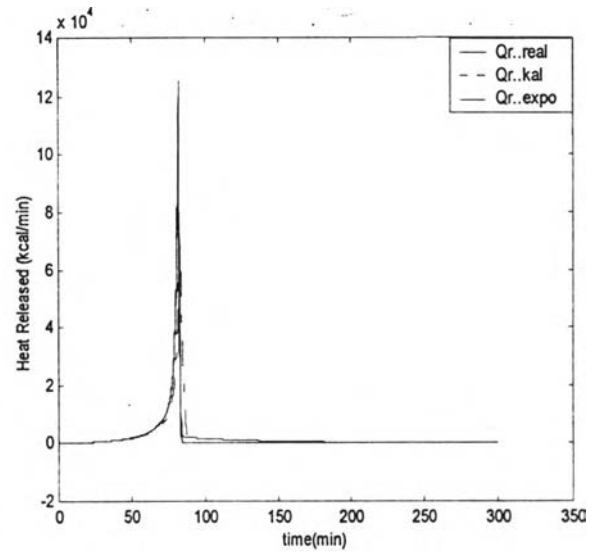
| | | |
|-----------------------|-----------------------|------------|
| P11= 0.1 | P22 = 0.1 | |
| P33 = 1 | P44 = 1 | P55= 0.001 |
| Q11= 5 | Q22 = 1000 | |
| Q33 = 1×10^5 | Q44 = 5×10^4 | Q55= 0.001 |
| R11 = 10 | R22 = 10 | |

ตารางที่ 5.5 ดัชนีสมรรถนะของการประมาณค่าของตัวประมาณค่าในกรณีการควบคุมลูเปิด

| ดัชนีสมรรถนะ การประมาณค่าความร้อน ($ISE \cdot 10^9$) | |
|--|---------------|
| ตัวกรองเอกซ์โพเนนเชียล | ตัวกรองคาลมาน |
| 15.515 | 0.96489 |



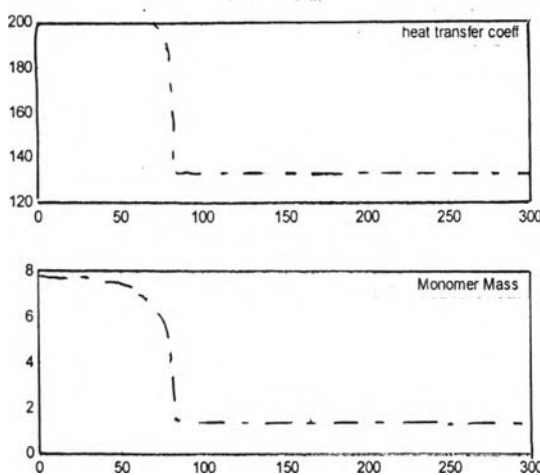
(ก)



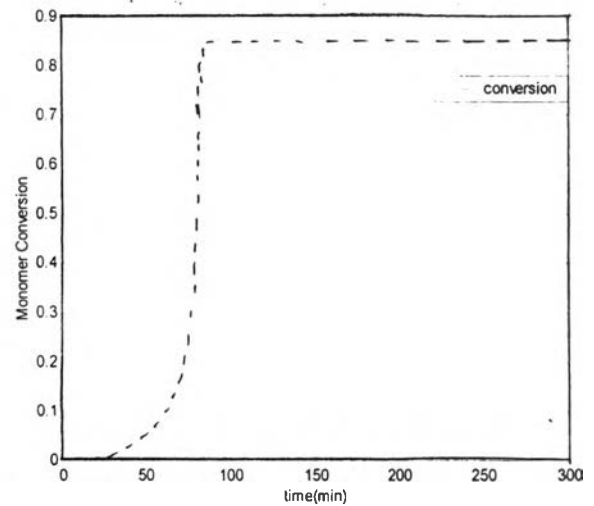
(ข)

รูปที่ 5.7 (ก) ผลตอบสนองอุณหภูมิภายในเครื่องปฏิกรณ์กับเวลา เมื่อเปรียบเทียบการประมาณค่าตัวกรองแบบเอกซ์โพเนนเชียล กับตัวกรองคาลมานในการควบคุมแบบลูปเปิด

รูปที่ 5.7 (ข) ผลตอบสนองความร้อนที่เกิดภายในเครื่องปฏิกรณ์เคมีกับเวลา เมื่อเปรียบเทียบการประมาณค่าตัวกรองแบบเอกซ์โพเนนเชียล กับตัวกรองคาลมานในการควบคุมแบบลูปเปิด



(ค)



(ง)

รูปที่ 5.7 (ค) บน ผลตอบสนองค่าสัมประสิทธิ์การถ่ายเทความร้อนรวมกับเวลา เมื่อเปรียบเทียบการประมาณค่าตัวกรองแบบเอกซ์โพเนนเชียล กับตัวกรองคาลมานในการควบคุมแบบลูปเปิด

รูปที่ 5.7 (ค)ล่าง ผลตอบสนองความเข้มข้นของโมโนเมอร์กับเวลา เมื่อเปรียบเทียบการประมาณค่าตัวกรองแบบเอกซ์โพเนนเชียล กับตัวกรองคาลมานในการควบคุมแบบลูปเปิด

รูปที่ 5.7 (ง) ผลตอบสนองคอนเวอร์ชันของโมโนเมอร์กับเวลา เมื่อเปรียบเทียบการประมาณค่าตัวกรองแบบเอกซ์โพเนนเชียล กับตัวกรองคาลมานในการควบคุมแบบลูปเปิด

จะพบว่าในกรณีศึกษาเมื่อไม่มีการควบคุมอุณหภูมิของเครื่องปฏิกรณ์ โดยกำหนดให้อุณหภูมิของแจ็กเก็ตมีค่าคงที่ที่ 65 เซลเซียส (338.15 เคลวิน) ตลอดจนการจำลองพบว่าเมื่อเริ่มปฏิกิริยาการเกิดปฏิกิริยาพอลิเมอไรเซชัน อุณหภูมิของเครื่องปฏิกรณ์ในช่วงแรกๆเพิ่มขึ้นอย่างช้าๆและเมื่อค่าของอุณหภูมิของเครื่องปฏิกรณ์เพิ่มขึ้นเรื่อยๆจนเข้าใกล้ค่าอุณหภูมิเป้าหมายจะพบว่าเกิดการเกิดปฏิกิริยามีมากขึ้นอย่างรวดเร็ว และค่าของความร้อนที่ปล่อยออกมาจากปฏิกิริยาที่จะมีมากขึ้น ทั้งนี้เนื่องมาจากค่าของความร้อนที่ปล่อยออกมาจากปฏิกิริยา สัมพันธ์กับค่าของอุณหภูมิของเครื่องปฏิกรณ์แบบเอกซ์โพเนนเชียลและแปรผันกับปริมาณสารโมโนเมอร์ ตามที่ได้เสนอไปแล้วในเรื่องการประมาณค่าความร้อนในบทที่ 4 จากที่ค่าของความร้อนที่คายออกมาจากปฏิกิริยา ส่งผลให้การเกิดปฏิกิริยามีมากขึ้น (สังเกตจากค่าความชันที่เพิ่มขึ้นของค่าคอนเวอร์ชันหรือความเข้มข้นของโมโนเมอร์ที่ลดลงในเครื่องปฏิกรณ์) การที่ปฏิกิริยาเกิดขึ้นอย่างรวดเร็วก็ให้ความร้อนที่เกิดขึ้นจากปฏิกิริยาก็มีค่าสูง พบว่าอุณหภูมิของเครื่องปฏิกรณ์เกิดการโอเวอร์ชูตถึง 410 เคลวิน ที่เวลา 80 นาที จนเมื่อการเกิดปฏิกิริยาของสารตั้งต้นนี้หมดไปแล้ว อุณหภูมิของเครื่องปฏิกรณ์ จึงลดลงจนกระทั่งเท่ากับอุณหภูมิของแจ็กเก็ตในที่สุด

สรุปผลการทดลอง พบว่าการประมาณค่าด้วยตัวกรองคาลมาน จะประมาณค่าได้ใกล้เคียงกับค่าความร้อนที่เกิดขึ้นจริงมากกว่าการประมาณค่าจากตัวกรองแบบเอกซ์โพเนนเชียล โดยค่าดัชนีสมรรถนะการประมาณค่าความร้อนของปฏิกิริยาของตัวกรองคาลมานมีค่าน้อยกว่าตัวกรองแบบเอกซ์โพเนนเชียล ที่สภาวะการควบคุมเดียวกันและไม่มีตัวควบคุมเช่นเดียวกัน ทั้งนี้สาเหตุเนื่องจากตัวกรองคาลมานมีแบบจำลองการประมาณค่าเป็นแบบจำลองของกระบวนการ (ดังที่ได้กล่าวไว้แล้วใน บทที่ 4 เรื่องการประมาณค่า) ดังนั้นเมื่อมีความผิดพลาดของแบบจำลองกระบวนการขึ้น ระบบตัวกรองคาลมานจะรู้และทำการประมาณค่าได้ ระบบประมาณค่าที่ได้จะใกล้เคียงกับกระบวนการจริง จะทำให้ระบบควบคุมทำงานได้อย่างมีประสิทธิภาพ ตัวกรองคาลมานสามารถประมาณค่าความร้อนของระบบลูเปิดของเครื่องปฏิริยาเคมีชนิดคายความร้อนสูงได้ดีกว่าระบบเอกซ์โพเนนเชียล

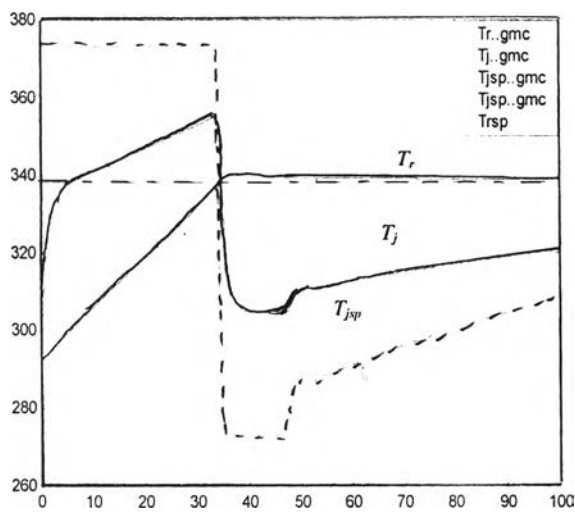
5.3.2 การประมาณค่าในระบบลูปิด (ระบบควบคุมเจเนริกโมเดล)

การเปรียบเทียบระบบประมาณค่า เมื่อกระบวนการที่กำลังพิจารณามีการควบคุมด้วยตัวควบคุมเจเนริกโมเดล เป็นกรณีการจำลองเพื่อทดสอบความสามารถในการประมาณค่าของตัวประมาณค่าทั้งสองในสภาวะที่มีระบบควบคุม ในงานวิจัยนี้เลือกเจเนริกโมเดลมาทดสอบ โดยวัตถุประสงค์เพื่อรักษาอุณหภูมิภายในเครื่องปฏิกรณ์ด้วยระบบควบคุมให้อยู่ที่ค่าอุณหภูมิเป้าหมายเท่ากับ 65 เซลเซียส โดยมีพารามิเตอร์การควบคุมของเจเนริกโมเดลเป็น $\xi = 10$ และ

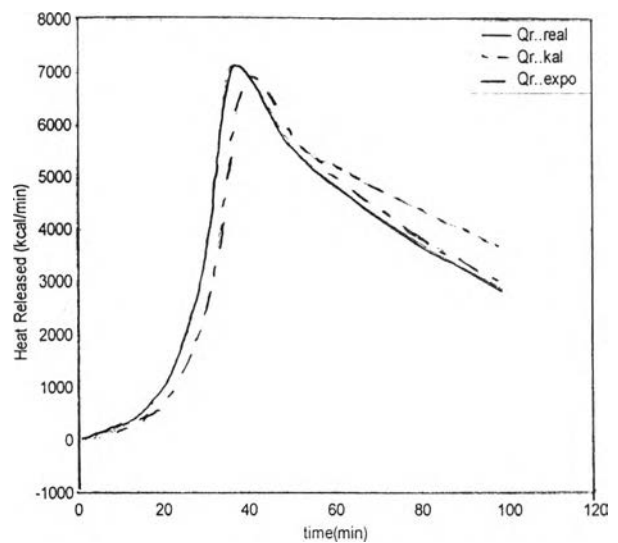
$\tau = 20$ ซึ่งผลของการควบคุมอุณหภูมิและการประมาณค่าของความร้อนแสดงผลดังกราฟที่ 5.8 สำหรับค่าพารามิเตอร์ที่ใช้ในการประมาณค่าความร้อนโดยใช้ตัวกรองกาลมานและเอกซ์โพเนนเชียล แสดงดังรายละเอียดในตาราง 5.6

ตารางที่ 5.6 ดัชนีสมรรถนะของการประมาณค่าของตัวประมาณค่าในกรณีการควบคุมอุณหภูมิด้วยระบบการควบคุมเจเนริกโมเดล

| ดัชนีสมรรถนะ การประมาณค่าความร้อน ($ISE \cdot 10^7$) | |
|--|---------------|
| ตัวกรองเอกซ์โพเนนเชียล | ตัวกรองกาลมาน |
| 2.1922 | 1.5722 |

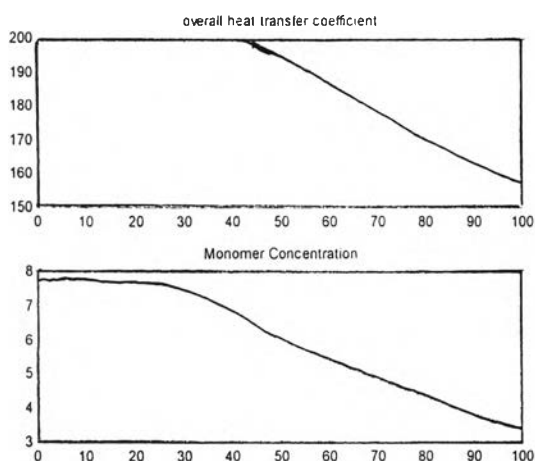


(ก)

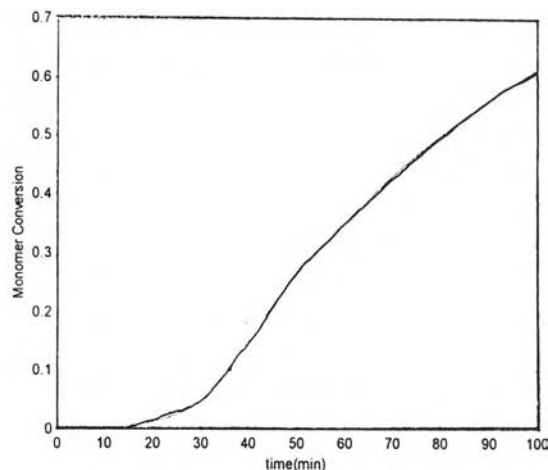


(ข)

รูปที่ 5.8 (ก) ผลตอบสนองอุณหภูมิภายในเครื่องปฏิกรณ์เคมีพอลิเมอร์แบบแบตช์กับเวลา เปรียบเทียบตัวประมาณค่าแบบเอกซ์โพเนนเชียล กับตัวกรองกาลมานที่มีการควบคุมเจเนริกโมเดล
รูปที่ 5.8 (ข) การประมาณค่าความร้อนที่เกิดภายในเครื่องปฏิกรณ์เคมีกับเวลา เปรียบเทียบตัวประมาณค่าแบบเอกซ์โพเนนเชียลกับตัวกรองกาลมานที่มีการควบคุมเจเนริกโมเดล



(ค)



(ง)

รูปที่ 5.8 (ค)บน ผลตอบสนองค่าสัมประสิทธิ์การถ่ายเทความร้อนรวมกับเวลา เปรียบเทียบตัว
 ประมาณค่าแบบเอกซ์โพเนนเชียล กับตัวกรองกาลมานที่มีระบบควบคุมเจเนริกโมเดล

รูปที่ 5.8 (ค)ล่าง ผลตอบสนองความเข้มข้นของโมโนเมอร์กับเวลา เปรียบเทียบตัวประมาณค่า
 แบบเอกซ์โพเนนเชียล กับตัวกรองกาลมานที่มีระบบควบคุมเจเนริกโมเดล

รูปที่ 5.8 (ง) ผลตอบสนองคอนเวอร์ชันของโมโนเมอร์กับเวลา เปรียบเทียบตัวประมาณค่าแบบ
 เอกซ์โพเนนเชียล กับตัวกรองกาลมานที่มีระบบควบคุมเจเนริกโมเดล

ตารางที่ 5.7 พารามิเตอร์ที่ใช้ในการประมาณค่าความร้อน โดยใช้ตัวกรองกาลมานและ
 เอกซ์โพเนนเชียล

| | | | |
|-----------------------|-------------|-----------------------|------------|
| P11 = 0.1 | P22 = 0.1 | P33 = 1 | P44 = 0.1 |
| P55 = 0.005 | Q11 = 80 | Q22 = 10 | Q33 = 7000 |
| Q44 = 100 | Q55 = 0.001 | R11 = 50 | R22 = 50 |
| $\mathcal{U}_f = 1.5$ | | $\mathcal{U}_j = 0.4$ | |

โดยที่

\mathcal{U}_f คือค่าคงที่สำหรับตัวกรองเอกซ์โพเนนเชียล

\mathcal{U}_j คือค่าคงที่สำหรับแจ็กเก็ต

จากผลการจำลองการควบคุมเจเนริกโมเดลร่วมกับการประมาณค่าความร้อนโดยใช้ค่า
 พารามิเตอร์ดังตารางที่ 5.6

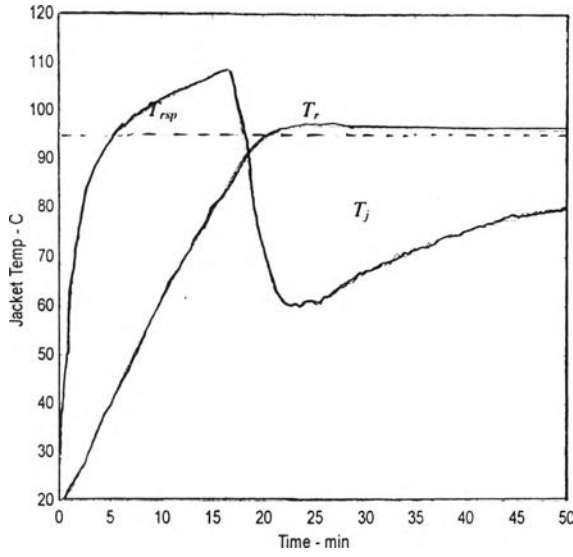
ซึ่งจากผลการทดลองพบว่าการประมาณค่าของตัวกรองทั้งสองไม่ทับกับเส้นของการประมาณค่าความร้อนจากกระบวนการจริงทั้งนี้สามารถเสนอแนะสาเหตุที่มาได้เป็น 2 กรณี อาจเนื่องมาจากการประมาณนั้นมีความผิดพลาดของพารามิเตอร์ของแบบจำลองการประมาณไม่ถูกต้องจึงทำให้แม้ตัวกรองกาลมานก็ไม่สามารถประมาณได้เส้นเดียวกับกระบวนการ และอีกกรณีคือการจูนที่ไม่ดีพอ การให้ค่าถ่วงน้ำหนักของพารามิเตอร์การจูนไม่ถูกต้อง ซึ่งในการทดลองครั้งนี้ได้เสนอค่าจูนที่ดีที่สุดที่สามารถจูนได้ของทั้งสองตัวกรองโดยใช้ค่าดัชนีสมรรถนะการประมาณค่าความร้อนเป็นตัวบ่งชี้

พบว่าการประมาณค่าโดยตัวกรองกาลมาน สามารถประมาณค่าความร้อนได้ใกล้เคียงกับระบบจริงได้ดีกว่าการประมาณค่าของตัวกรองเอกซ์โพเนนเชียล ดังรูปที่ 5.8 ค่าดัชนีสมรรถนะการประมาณค่าความร้อนแสดงไว้ในตารางที่ 5.7 จากกราฟแสดงค่าความร้อนที่คายออกมาจากปฏิกิริยาโดยเฉพาะอย่างยิ่งช่วงที่อัตราการเกิดปฏิกิริยาสูงการประมาณค่าโดยใช้ตัวกรองกาลมานสามารถประมาณค่าความร้อนได้ใกล้เคียงกับระบบจริงได้ดีกว่าตัวกรองเอกซ์โพเนนเชียล ทั้งนี้เนื่องมาจากตัวกรองกาลมานมีแบบจำลองซึ่งมักจะเป็นแบบจำลองของกระบวนการ และเนื่องมาจากแบบจำลองของตัวกรองกาลมานมีการเปลี่ยนค่าของเกณฑ์การประมาณทุกๆ ครั้งของการสุ่มตัวอย่างดังนั้นจึงสามารถทราบถึงการเปลี่ยนแปลงของพลวัตของเครื่องปฏิกรณ์จึงสามารถทำนายค่าความร้อนที่เกิดจากปฏิกิริยาได้ดี ซึ่งส่งผลให้การควบคุมอุณหภูมิจึงดีกว่า

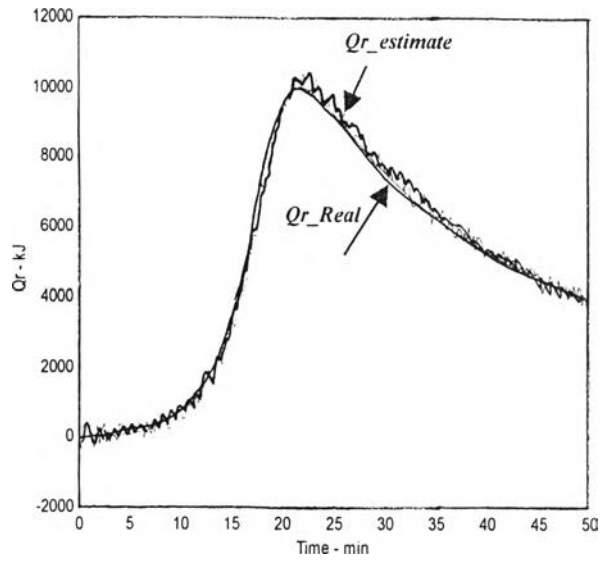
ดังนั้นในงานวิจัยนี้จะเลือกใช้ตัวกรองกาลมานเป็นระบบประมาณค่าความร้อนเพื่อใช้ร่วมกับการควบคุมอุณหภูมิภายในเครื่องปฏิกรณ์เคมีพอลิเมอร์ที่มีปฏิกิริยาคายความร้อน และกรณีทดสอบสมรรถนะและความทนทานของตัวควบคุม โมเดลพรีดิกทีฟและเจเนริกโมเดล

5.4 การทดสอบระบบการควบคุมแบบโมเดลพรีดิกทีฟที่สร้างขึ้นในงานวิจัยนี้

เพื่อเป็นการยืนยันว่าการเขียนโปรแกรม ในระบบโมเดลพรีดิกทีฟที่สร้างขึ้นนั้นถูกต้องในงานวิจัยจึงทำการทดสอบระบบโมเดลพรีดิกทีฟที่สร้างขึ้น กับระบบการควบคุมอุณหภูมิในเครื่องปฏิกรณ์เคมีแบบแบตช์ที่มีการคายความร้อนจากบทความงานวิจัยของ Cott และ Macchietto (1989) เป็นการควบคุมด้วยเจเนริกโมเดล แต่เนื่องจากในงานวิจัยนี้เป็น การควบคุมแบบโมเดลพรีดิกทีฟ จึงจะทำการจำลองกระบวนการโดยแบ่งกรณีศึกษาออกเป็นกรณีโมเดลพรีดิกทีฟแบ่งออกเป็น 2 กรณีที่ใช้เทคนิคขอบเขตของตัวแปรปรับภายนอกอปเจ็คทีฟฟังก์ชันกับเทคนิคการใส่ขอบเขตตัวแปรปรับภายในออปเจ็คทีฟฟังก์ชัน (ในงานวิจัยนี้) โดยผลการจำลองแสดงได้ดังรูปที่ 5.9 (ก)-(ง)



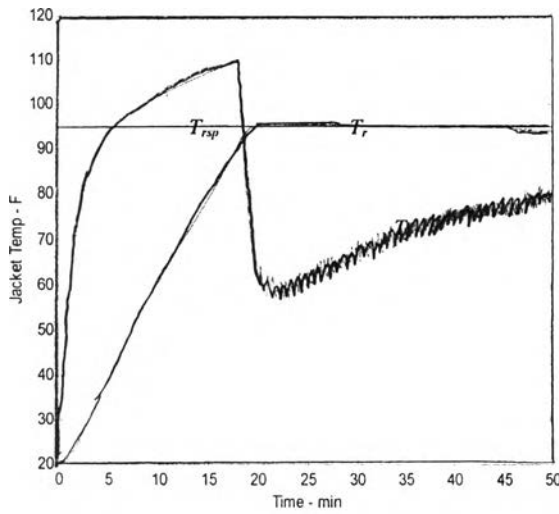
(ก)



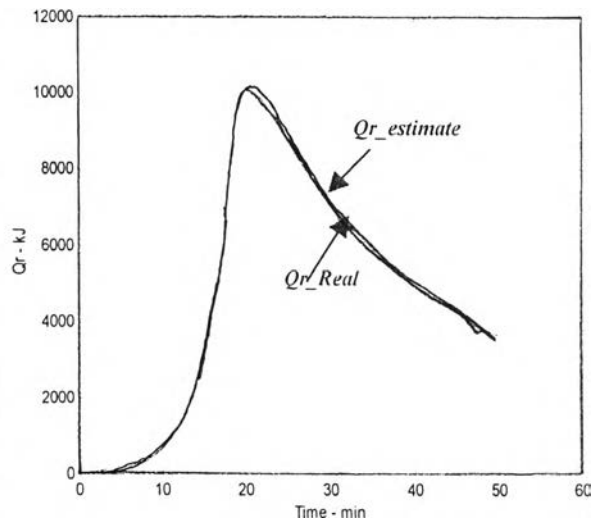
(ข)

รูปที่ 5.9 (ก) ผลตอบสนองอุณหภูมิภายในเครื่องปฏิกรณ์กับเวลา เมื่อควบคุมด้วย โมเดลพรีดิกทีฟ กรณีมีขอบเขตของตัวแปรปรับภายนอกออปเจกทีฟฟังก์ชัน

รูปที่ 5.9 (ข) ผลตอบสนองความร้อนที่เกิดภายในเครื่องปฏิกรณ์กับเวลาควบคุมด้วยระบบควบคุม โมเดลพรีดิกทีฟกรณีมีขอบเขตของตัวแปรปรับภายนอกออปเจกทีฟฟังก์ชัน



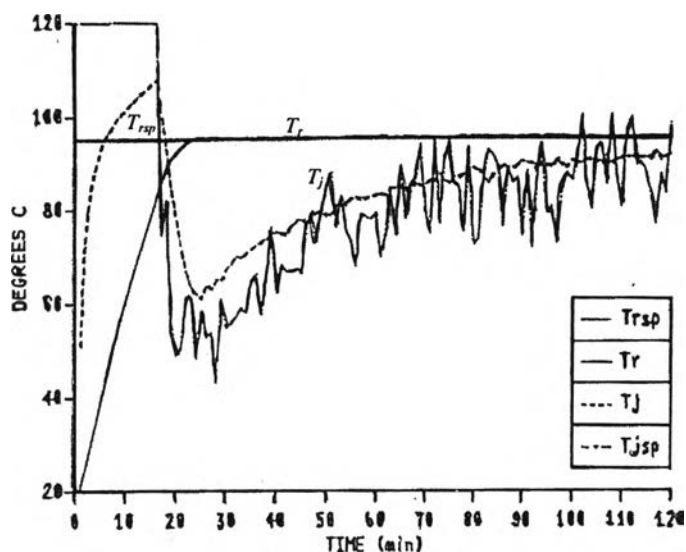
(ก)



(ข)

รูปที่ 5.10 (ก) ผลตอบสนองอุณหภูมิภายในเครื่องปฏิกรณ์กับเวลาเมื่อควบคุมด้วย โมเดลพรีดิกทีฟ กรณีมีขอบเขตของตัวแปรปรับภายในออปเจกทีฟฟังก์ชัน (ในงานวิจัยนี้)

รูปที่ 5.10 (ข) ผลการประมาณค่าความร้อนที่เกิดภายในเครื่องปฏิกรณ์กับเวลาเมื่อควบคุมด้วย โมเดลพรีดิกทีฟกรณีมีขอบเขตของตัวแปรปรับภายในออปเจกทีฟฟังก์ชัน (ในงานวิจัยนี้)



รูปที่ 5.11 ผลการควบคุมด้วยเจเนริกโมเดลในงานวิจัยของ Cott และ Macchietto (1989)

จากผลการจำลองการควบคุมอุณหภูมิของเครื่องปฏิกรณ์เคมีแบบแบตช์ที่มีการคายความร้อนจากบทความ Cott และ Macchietto (1989) กับระบบโมเดลพรีดิกทีฟที่สร้างขึ้น เพื่อเป็นการยืนยันว่า การเขียนโปรแกรมในระบบโมเดลพรีดิกทีฟที่สร้างขึ้นนั้นถูกต้อง ผลพบว่าสามารถทำการควบคุมได้ดีเทียบเท่ากับผลการควบคุมในรายงานวิจัย Cott และ Macchietto (1989) ที่เป็นการควบคุมด้วยเจเนริกโมเดล และนอกจากนี้เมื่อทำการเปรียบเทียบกับกรณีเมื่อเป็นระบบโมเดลพรีดิกทีฟที่สร้างขึ้น แต่เป็นเทคนิคแบบมีขอบเขตของตัวแปรปรับภายนอกออกป้อนที่ฟังก์ชันกับแบบมีภายในออกป้อนที่ฟังก์ชัน (ในงานวิจัยนี้) ก็พบว่าสามารถทำการควบคุมได้ดีเช่นเดียวกัน ดังนั้นผลการจำลองในระบบดังกล่าวข้างต้นนี้ จึงพิสูจน์ทำให้แน่ใจได้ว่าการเขียนโปรแกรมในระบบโมเดลพรีดิกทีฟที่สร้างขึ้นนั้นถูกต้อง จึงนำมาทำการควบคุมระบบในงานวิจัยนี้เปรียบเทียบกับระบบควบคุมเจเนริกโมเดลที่มีลักษณะเป็นการควบคุมที่อาศัยแบบจำลอง

5.5 กรณีทดสอบสมรรถนะและความทนทานในการควบคุมอุณหภูมิ

5.5.1 กรณีทดสอบสมรรถนะ

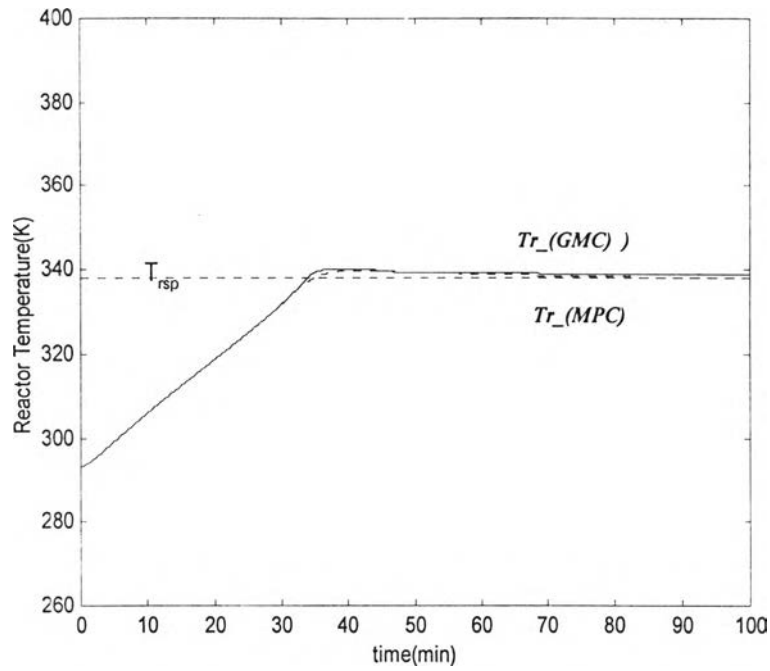
เนื่องจากระบบควบคุมที่จะใช้เป็นระบบควบคุมที่อาศัยแบบจำลองพื้นฐานและมีค่าความร้อนที่เกิดในเครื่องปฏิริยาเคมีเป็นตัวแปรที่สำคัญ (จากสมการดุลพลังงานของอุณหภูมิและแอ็คเท็ด) การประมาณค่าความร้อนที่เกิดขึ้นจากปฏิริยานี้ถ้าการประมาณมีค่าถูกต้อง จะทำให้ระบบควบคุมแบบอาศัยแบบจำลองสามารถควบคุมอุณหภูมิได้อย่างมีประสิทธิภาพยิ่งขึ้น ค่าคงที่ใช้ในการจูนระบบควบคุมและระบบประมาณค่าแสดงในตารางที่ 5.8 และผลการจำลอง

กระบวนการและทำการควบคุมด้วยตัวควบคุมเจเนริกโมเดล และโมเดลพรีดิกทีฟแสดงในรูปที่ 5.12 (ก)-(ง) ซึ่งค่าดัชนีผลการควบคุมเสนอในตารางที่ 5.9 กรณีที่ค่าสัมประสิทธิ์การถ่ายเทความร้อน 100 %

ตารางที่ 5.8 ค่าคงที่ที่ใช้ในการจูนระบบควบคุมและระบบประมาณค่า

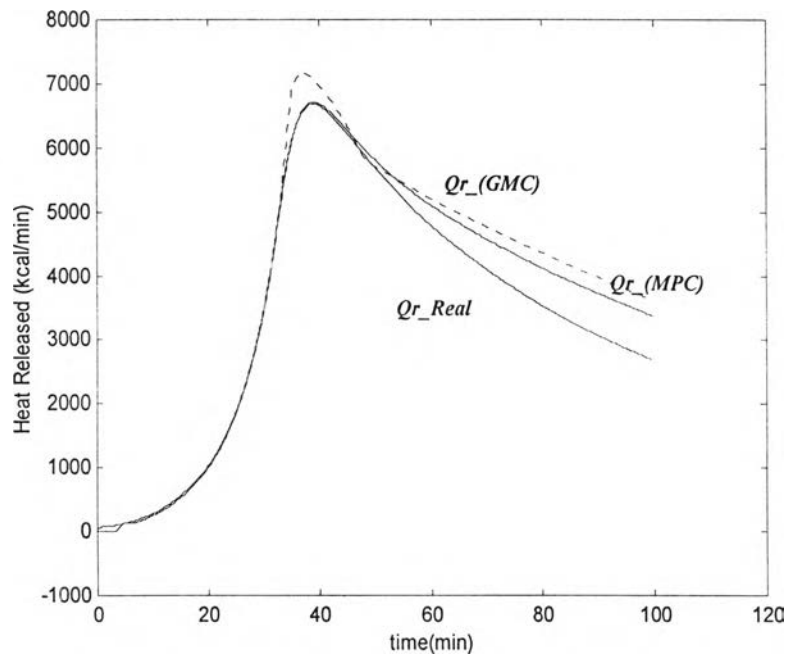
| | | | | | |
|--------|--------------|----------------------------|-----------------------|-----------------------|------------------|
| GMC | $K1 = 2$ | $K2 = 1.54 \times 10^{-3}$ | | | |
| Kalman | $P11 = 0.1$ | $P22 = 0.1$ | $P33 = 1$ | $P44 = 1$ | $P55 = 0.001$ |
| Filter | $Q11 = 5$ | $Q22 = 1000$ | $Q33 = 1 \times 10^6$ | $Q44 = 5 \times 10^4$ | $Q(5,5) = 0.001$ |
| | $R11 = 10$ | $R22 = 10$ | | | |
| MPC | $Qc11 = 1E6$ | $Rc11 = 1$ | $M = 3$ | $P = 5$ | |
| Kalman | $P11 = 0.1$ | $P22 = 0.1$ | $P33 = 1$ | $P44 = 1$ | $P55 = 0.001$ |
| Filter | $Q11 = 5$ | $Q22 = 1000$ | $Q33 = 1 \times 10^6$ | $Q44 = 5 \times 10^4$ | $Q(5,5) = 0.001$ |
| | $R11 = 10$ | $R22 = 10$ | | | |

จากผลการจำลองกระบวนการพบว่า ในกรณีปฏิกิริยาการควบคุมด้วยตัวควบคุมโมเดลพรีดิกทีฟ จะมีการคำนวณชุดของตัวแปรปรับที่เหมาะสมโดยอาศัยการอปติไมซ์ออปเจ็คทีฟ ซึ่งเป็นผลรวมของผลต่างของค่าเอาท์พุทล่วงหน้าและค่าควบคุมที่เซตพอยท์ กับค่าตัวแปรปรับล่วงหน้าและค่าควบคุมที่เซตพอยท์ จึงทำให้สามารถทำการควบคุมค่าของอุณหภูมิของเครื่องปฏิกรณ์ที่เกิดปฏิกิริยาการคายความร้อนได้ดีกว่าการควบคุมด้วยเจเนริกโมเดล ซึ่งเป็นการควบคุมที่อาศัยผลต่างของค่าเอาท์พุทที่วัดได้กับค่าควบคุมที่เซตพอยท์ที่เวลานั้น ซึ่งเมื่อระบบมีความไม่เป็นเชิงเส้นสูงการคำนวณค่าของตัวแปรปรับจะผิดพลาดมาก ทำให้ไม่สามารถทำการควบคุมกระบวนการได้ทันกับการเปลี่ยนแปลงของกระบวนการนี้ ซึ่งสาเหตุของความไม่เป็นเชิงเส้นสูงของกระบวนการควบคุมอุณหภูมิภายในเครื่องปฏิกรณ์เคมีพอลิเมอร์แบบแบตช์ ในงานวิจัยนี้มีการเปลี่ยนแปลงพลวัต ไม่มีสภาวะคงตัว นอกจากนี้ระบบยังมีอิทธิพลของการเกิดเจล เนื่องมาจากปริมাত্রของพอลิเมอร์ผลิตภัณฑ์เกิดมาๆ ทำให้ทับถมและไปกีดขวาง ทำให้การแพร่มีลดลงค่าสัมประสิทธิ์การถ่ายเทความร้อนจะมีการลดลงของค่าสัมประสิทธิ์การถ่ายเทความร้อน จะสังเกตได้จากค่าของความร้อนที่คายออกมาจากปฏิกิริยาจะมีค่าลดลงเข้าไปเรื่อยๆ ไม่สามารถลดลงต่ำเท่ากับกระบวนการทั้งนี้ก็เป็นเพราะค่าของคอนเวอร์ชันของโมโนเมอร์กรณีเจเนริกโมเดลมีค่ามากกว่า ส่งผลให้ค่าของค่าสัมประสิทธิ์การถ่ายเทความร้อนกรณีเจเนริกโมเดลมีค่าลดลงมาก



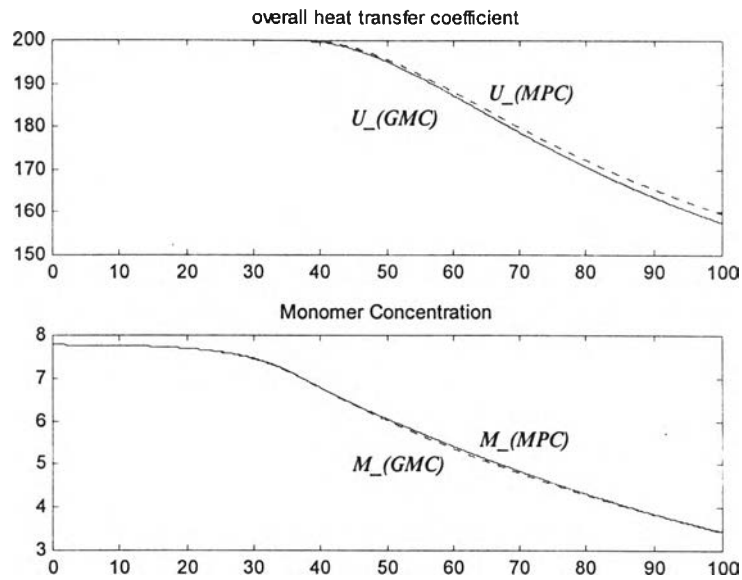
(ก)

รูปที่ 5.12(ก)ผลตอบสนองอุณหภูมิภายในเครื่องปฏิกรณ์เคมีพอลิเมอร์แบบเบดซ์ กับเวลาเมื่อทำการควบคุมด้วยโมเดลพรีดิกทีฟและการควบคุมแบบเจนเนริกโมเดล ในสภาวะปกติ



(ข)

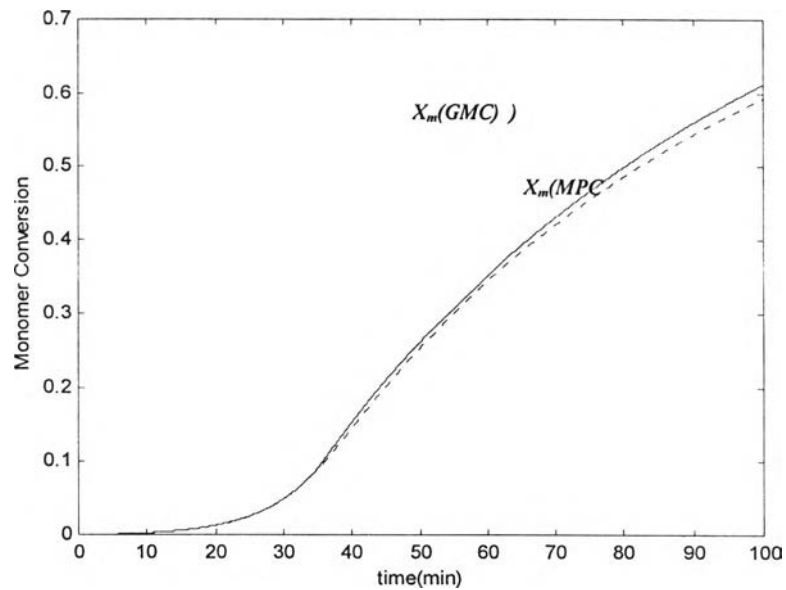
รูปที่ 5.12(ข)การประมาณค่าความร้อนที่เกิดภายในเครื่องปฏิกรณ์เคมีพอลิเมอร์แบบเบดซ์กับเวลา เมื่อทำการควบคุมด้วยโมเดลพรีดิกทีฟและการควบคุมแบบเจนเนริกโมเดล ในสภาวะปกติ



(ค)

รูปที่ 5.12(ค) บน ผลตอบสนองค่าสัมประสิทธิ์การถ่ายเทความร้อนรวมกับเวลา เมื่อทำการควบคุมด้วยโมเดลพรีดิกทีฟและการควบคุมแบบเจนเนริกโมเดล ในสภาวะปกติ

รูปที่ 5.12(ค) ล่าง ผลตอบสนองความเข้มข้นของโมโนเมอร์ภายในเครื่องปฏิกรณ์กับเวลา เมื่อทำการควบคุมด้วยโมเดลพรีดิกทีฟและการควบคุมแบบเจนเนริกโมเดล ในสภาวะปกติ



(ง)

รูปที่ 5.12(ง) ผลตอบสนองคอนเวอร์ชันของโมโนเมอร์ภายในเครื่องปฏิกรณ์กับเวลา เมื่อทำการควบคุมด้วยโมเดลพรีดิกทีฟและการควบคุมแบบเจนเนริกโมเดล ในสภาวะปกติ

ค่าการประมาณค่าความร้อนจึงต้องสูงกว่า ในขณะที่กาลมานใกล้เคียงกับค่าความร้อนจริงของกระบวนการ (จากการคำนวณจากสมการดุลพลังงานทำการประมาณให้ค่าความร้อนสูงกว่า โมเดลพรีดิกทีฟ ส่งผลให้กราฟยังอยู่สูงกว่าจนสิ้นเวลาการจำลอง จากกราฟการประมาณค่าความร้อนและจากค่าของดัชนีสมรรถนะ การประมาณค่าความร้อน พบว่าในตัวกรองกาลมานสำหรับตัวควบคุมโมเดลพรีดิกทีฟ การประมาณค่าความร้อนมีค่าปฏิกรณ์) มากกว่าค่าประมาณค่าความร้อนในตัวกรองกาลมานสำหรับตัวควบคุมด้วยเจนริกโมเดล เหตุผลที่เป็นเช่นนี้เนื่องมาจากการประมาณค่าความร้อนของตัวกรองกาลมานนั้น จะอาศัยค่าของการวัดเอาท์พุทและค่าของตัวแปรปรับกระบวนการเป็นอินพุท ซึ่งถ้าค่าของการวัดเอาท์พุท และค่าของตัวแปรปรับกระบวนการที่คำนวณได้มีค่าผิดพลาด ไม่ถูกต้องจะส่งผลให้การประมาณค่าของความร้อนของตัวกรองกาลมานผิดพลาดด้วย การคำนวณค่าตัวแปรปรับของเจนริกโมเดลจึงมีดัชนีสมรรถนะของการประมาณค่าความร้อนที่มากกว่ากรณีโมเดลพรีดิกทีฟ เมื่อมีการประมาณค่าด้วยตัวกรองกาลมานเหมือนกัน

5.5.2 กรณีทดสอบความทนทาน

กรณีการทดสอบความทนทานของตัวควบคุมนั้นเป็นการศึกษาเพื่อดูถึงความทนทานของการจำลองและการควบคุมเมื่อไม่มีการเปลี่ยนแปลงค่าพารามิเตอร์การจูนของตัวควบคุม เมื่อมีการเปลี่ยนแปลงค่าพารามิเตอร์ของแบบจำลองกระบวนการ ซึ่งในงานวิจัยนี้จะเสนอกรณีที่แย่ที่สุด เมื่อมีการเปลี่ยนแปลงค่าพารามิเตอร์ของแบบจำลองกระบวนการกระบวนการ ทั้งนี้สามารถทำการวิเคราะห์พารามิเตอร์ที่มีผลต่อการควบคุมของตัวควบคุมทั้งหมด 4 กรณีเสนอตามลำดับต่อไปนี้

5.5.2.1 กรณีค่าสัมประสิทธิ์การถ่ายเทความร้อนผิดพลาด

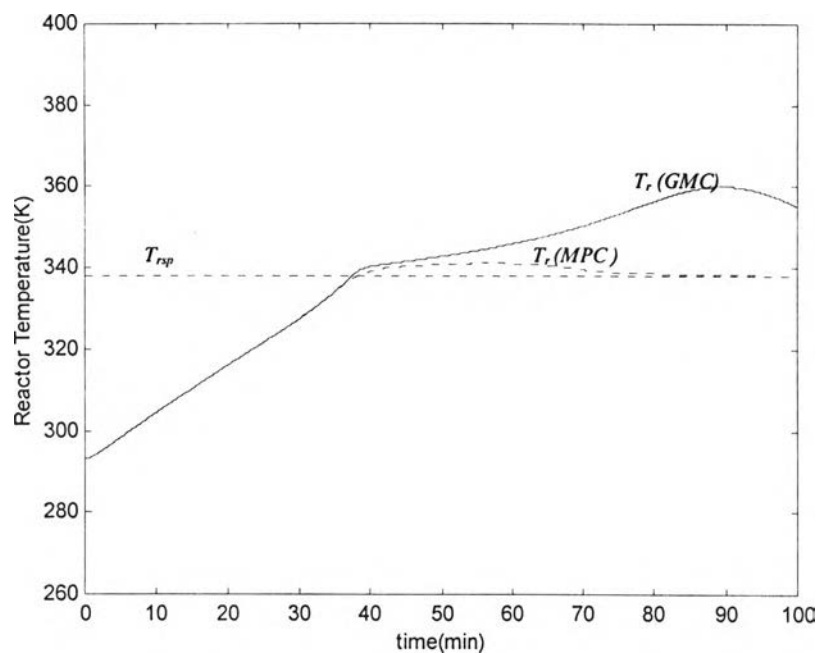
การเปลี่ยนแปลงของค่าสัมประสิทธิ์การถ่ายเทความร้อนของเครื่องปฏิกรณ์สามารถเกิดขึ้นจากหลายสาเหตุ เช่น ผนังของเครื่องปฏิกรณ์ไม่สะอาด เป็นต้น เนื่องมาจากการทำการสังเคราะห์พอลิเมอร์โดยเครื่องปฏิกรณ์แบบแบตช์ จะทำการสังเคราะห์พอลิเมอร์ติดต่อกัน โดยไม่มีการทำความสะอาดเครื่องปฏิกรณ์เลย นานๆครั้งจึงทำความสะอาด ดังนั้นค่าสัมประสิทธิ์การถ่ายเทความร้อนของเครื่องปฏิกรณ์ที่เวลาเริ่มทำการสังเคราะห์ จะมีค่าลดลงไม่เท่ากับค่าสัมประสิทธิ์การถ่ายเทความร้อนของเครื่องปฏิกรณ์ใหม่ๆ ซึ่งเมื่อเริ่มทำการสังเคราะห์ เกิดปฏิกิริยาจะทำให้สารผสมภายในเครื่องปฏิกรณ์เองก็มีค่าความหนืด (Viscosity) เพิ่มขึ้น ค่าสัมประสิทธิ์การถ่ายเทความร้อนมีค่าลดลงตามเวลา ทำให้อัตราส่วนของพื้นที่ต่อปริมาตรของ

เครื่องปฏิกรณ์มีค่าลดลง ทำให้ประสิทธิภาพการถ่ายเทความร้อน จากเครื่องปฏิกรณ์ไปยัง แจ็คเก็ตลดลงมากกว่าในกรณีปกติ มีผลทำให้อุณหภูมิในเครื่องปฏิกรณ์มีการเปลี่ยนแปลงที่ รุนแรงมากยิ่งขึ้น ดังนั้นในงานวิจัยนี้จึงทำการทดสอบระบบควบคุมโดยทำการลดค่าสัมประสิทธิ์ การถ่ายเทความร้อนในกระบวนการจริง (ในขณะที่ค่าสัมประสิทธิ์การถ่ายเทความร้อนในระบบ ควบคุมมีค่าเท่าเดิม) ซึ่งผลการจำลองแสดงได้ดังตารางที่ 5.9 และกราฟรูปที่ 5.13 (ก)-(ง) จากการ ทดสอบพบว่าระบบควบคุมโมเดลพรีดิกทีฟและระบบควบคุมเจเนริกโมเดลสามารถควบคุม กระบวนการได้ในขณะที่มีการลดลงของค่าสัมประสิทธิ์การถ่ายเทความร้อนสูงถึง 20%

ตารางที่ 5.9 ค่าดัชนีสมรรถนะของการควบคุมในกรณีที่ค่าสัมประสิทธิ์การถ่ายเทความร้อนผิด พลาด

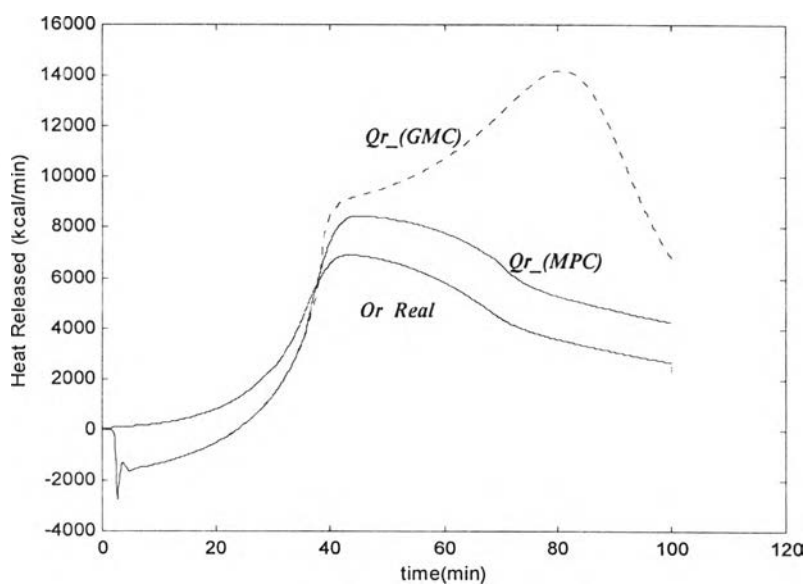
| ค่าสัมประสิทธิ์ การถ่ายเท ความร้อน (%) | ดัชนีสมรรถนะ (ISE*10 ⁴) การควบคุมอุณหภูมิในเครื่องปฏิกรณ์ | | ดัชนีสมรรถนะ (ISE*10 ⁹) การประมาณค่าความร้อน | |
|--|--|--------|---|---------|
| | GMC | MPC | GMC | MPC |
| 100 | 2.4232 | 2.4197 | 0.0157 | 0.0123 |
| 90 | 2.5602 | 2.5496 | 0.01226 | 0.0095 |
| 80 | 3.9181 | 2.7210 | 0.0095 | 0.00667 |
| 70 | 8.9378 | 5.4565 | 2.8232 | 1.8417 |
| 60 | 10.966 | 9.5699 | 4.5449 | 3.8447 |

จากผลการทดลองการจำลองกระบวนการเมื่อมีการลดของค่าสัมประสิทธิ์การถ่ายเท ความร้อนที่เวลาเริ่มต้นของเครื่องปฏิกรณ์พบว่า กรณีการควบคุมด้วยตัวควบคุมโมเดลพรีดิกทีฟ พิจารณาเมื่อมีการลดลงของค่าสัมประสิทธิ์การถ่ายเทความร้อน จะพบว่า การควบคุมของโมเดลพรี ดิกทีฟสามารถทำการควบคุมได้จนถึงการลดลงของค่าสัมประสิทธิ์การถ่ายเทความร้อน 20 % ซึ่งทุกกรณีพบว่าโมเดลพรีดิกทีฟ จะให้ดัชนีสมรรถนะของการควบคุมที่ดีกว่าการควบคุมด้วย เจเนริกโมเดล ทั้งนี้เนื่องมาจาก การประมาณค่าความร้อนในตัวกรองกาลมานมีการปรับตัวให้การ ประมาณค่าความร้อนมีค่ามากกว่าความเป็นจริงดังรูปที่ 5.13 ทำให้ระบบควบคุมคำนวณค่าตัว แปรปรับโดยปรับให้ลดอุณหภูมิในแจ็คเก็ตลดลงมากกว่าปกติ โดยเฉพาะโมเดลพรีดิกทีฟมี อัลกอริธึมที่สามารถทำนายพฤติกรรมของกระบวนการพลวัตล่วงหน้าได้ ดังนั้นตัวแปรปรับ กระบวนการที่คำนวณได้เหมาะสม ทำให้ระบบควบคุมยังสามารถควบคุมอุณหภูมิของสารใน เครื่องปฏิกรณ์ได้ ซึ่งเมื่อเริ่มทำการสังเคราะห์ เกิดปฏิกิริยาสารผสมภายในเครื่องปฏิกรณ์เองก็มีค่า



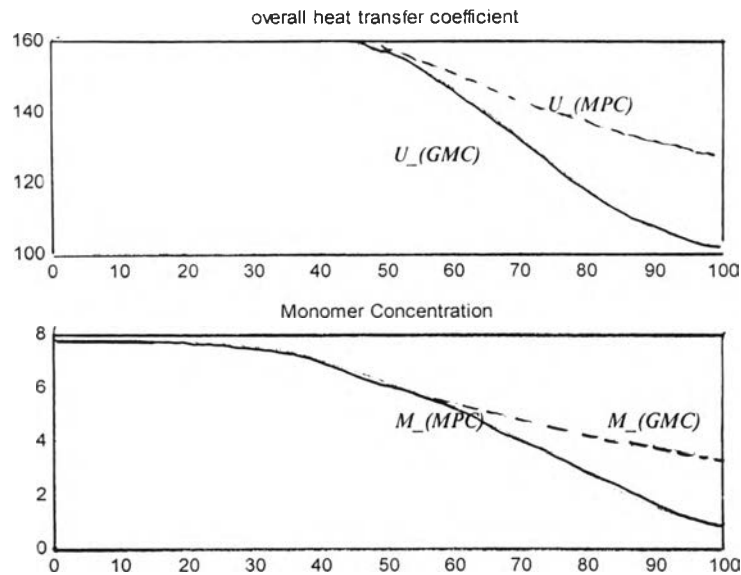
(ก)

รูปที่ 5.13(ก)ผลตอบสนองอุณหภูมิภายในเครื่องปฏิกรณ์กับเวลาเมื่อเปรียบเทียบการควบคุม โมเดลพรีดิกทีฟและเจเนริก โมเดล กรณีสัมประสิทธิ์การถ่ายเทความร้อนผิดพลาดลดลง 20 %



(ข)

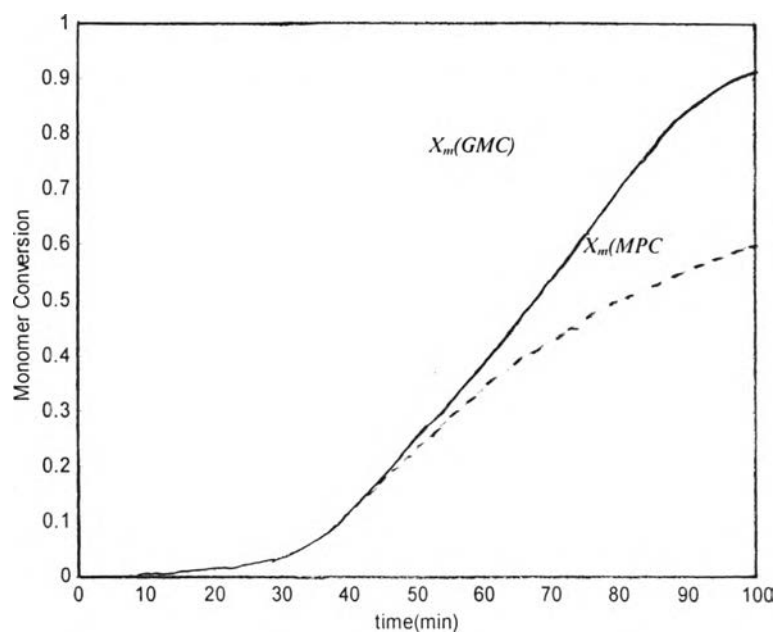
รูปที่ 5.13(ข)ผลตอบสนองความร้อนที่เกิดภายในเครื่องปฏิกรณ์กับเวลาเมื่อเปรียบเทียบการควบคุม โมเดลพรีดิกทีฟและเจเนริก โมเดล กรณีสัมประสิทธิ์การถ่ายเทความร้อนผิดพลาดลดลง 20 %



(ค)

รูปที่ 5.13 (ค) บน ผลค่าสัมประสิทธิ์การถ่ายเทความร้อนกับเวลาเมื่อเปรียบเทียบการควบคุม โมเดลพรีดิกทีฟและเจเนริกโมเดล กรณีสัมประสิทธิ์การถ่ายเทความร้อนผิดพลาดลดลง 20 %

รูปที่ 5.13 (ค) ล่าง ผลตอบสนองของความเข้มข้นของโมโนเมอร์เมื่อเปรียบเทียบการควบคุม โมเดลพรีดิกทีฟและเจเนริกโมเดล กรณีสัมประสิทธิ์การถ่ายเทความร้อนผิดพลาดลดลง 20 %



(ง)

รูปที่ 5.13 (ง) ผลตอบสนองคอนเวอร์ชันของโมโนเมอร์กับเวลาเมื่อเปรียบเทียบการควบคุม โมเดลพรีดิกทีฟและเจเนริกโมเดล กรณีสัมประสิทธิ์การถ่ายเทความร้อนผิดพลาดลดลง 20 %

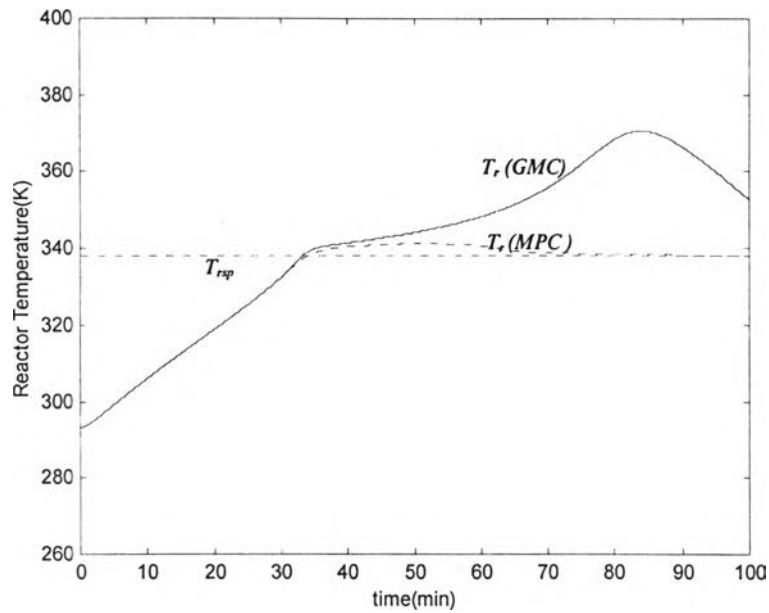
อัตราส่วนของพื้นที่ต่อปริมาตรของเครื่องปฏิกรณ์มีค่าลดลง ทำให้ประสิทธิภาพการถ่ายเทความร้อน จากเครื่องปฏิกรณ์ไปยังแจ็กเก็ตลดลงน้อยกว่าในกรณีปกติ แต่เนื่องมาจากที่ค่าคอนเวอร์ชันของโมโนเมอร์มีค่าน้อยกว่ากรณีของเจนเนริกโมเดล ทำให้ ค่าความร้อนที่คายออกมาจากปฏิกิริยามีไม่สูงเท่ากับกรณีของเจนเนริกโมเดล ค่าสัมประสิทธิ์การถ่ายเทความร้อนมีค่าลดลงตามเวลา ก็มีค่าลดลงแต่น้อยกว่าเช่นกัน มีผลทำให้อุณหภูมิในเครื่องปฏิกรณ์มีการเปลี่ยนแปลงที่รุนแรงน้อยลงแต่สำหรับเจนเนริกโมเดลไม่สามารถทำการควบคุมได้เมื่อการลดลงของค่าสัมประสิทธิ์การถ่ายเทความร้อน 20 % พบทั้งนี้สังเกตได้จากการเจนเนริกโมเดลที่มีกาลมามาประมาณค่าความหนืด (Viscosity) เพิ่มขึ้น จะทำให้ค่าสัมประสิทธิ์การถ่ายเทความร้อนมีค่าลดลงตามเวลา ทำให้ร้อนไวเกินจริงมากกว่า แต่เนื่องจากระบบมีการเปลี่ยนแปลงทางพลวัตมีความไม่เป็นเชิงเส้นสูง และข้อจำกัดของอุปกรณ์จึงทำให้เจนเนริกโมเดลลดอุณหภูมิในแจ็กเก็ตได้ไม่เกินค่าจำกัดค่าหนึ่ง ซึ่งพบว่าไม่สามารถทำการควบคุมได้ทัน (ช้ากว่ากรณีโมเดลพรีดิกทีฟ) จึงทำให้ค่าของอุณหภูมิในเครื่องปฏิกรณ์พุ่งเกินเกินค่าที่ตั้งไว้ยิ่งส่งผลให้ค่าความร้อนที่คายออกมาจากปฏิกิริยามีค่าสูง การลดลงของค่าสัมประสิทธิ์การถ่ายเทความร้อนลดลง ทำให้ให้อุณหภูมิในเครื่องปฏิกรณ์มีการเปลี่ยนแปลงที่รุนแรง

5.5.2.2 กรณีค่าความเข้มข้นของโมโนเมอร์ตั้งต้นผิดพลาด

การเปลี่ยนแปลงความเข้มข้นของโมโนเมอร์ตั้งต้นในเครื่องปฏิกรณ์ อาจเกิดจากการป้อนสารเข้าสู่ถังปฏิกรณ์อาจมีค่าไม่เท่ากับปริมาณที่กำหนด หรือต้องการผลิตในปริมาณที่มากขึ้นหรือน้อยลง เป็นต้น ซึ่งทำให้ค่าความเข้มข้นของโมโนเมอร์ตั้งต้นในเครื่องปฏิกรณ์จริงกับในแบบจำลองของตัวประมาณและระบบควบคุมผิดพลาดไป ในการทดลองจึงทำการทดสอบโดยการป้อนสารเข้าสู่กระบวนการทั้งมากกว่า และน้อยกว่าค่าที่ตั้งไว้ ผลการทดลองเป็นไปดังตารางที่ 5.10 และรูปที่ 5.14

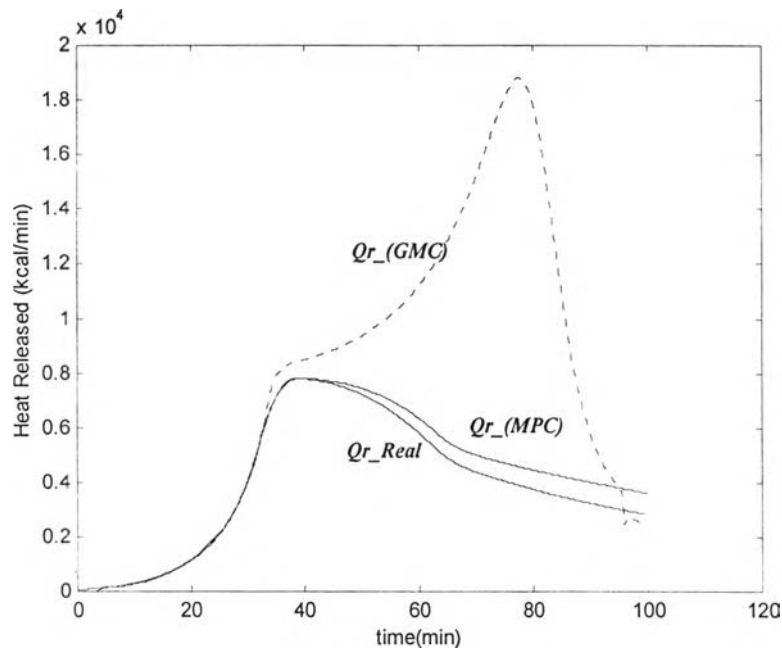
กรณีเมื่อความเข้มข้นของโมโนเมอร์ในเครื่องปฏิกรณ์ของระบบลดลง จากผลการจำลองพบว่าความผิดพลาดที่เกิดขึ้นไม่มีผลต่อการประมาณค่าความร้อน เนื่องจากแบบจำลองของตัวกรองกาลมามา ไม่มีความเข้มข้นของโมโนเมอร์เป็นตัวแปรสเตรต จากผลการทดสอบระบบควบคุมทั้งระบบควบคุมเจนเนริกโมเดลและระบบควบคุมโมเดลพรีดิกทีฟยังสามารถควบคุมให้อุณหภูมิ

อยู่ในขอบเขตของกระบวนการ เนื่องจากการลดลงของสารตั้งต้นและความร้อนที่เกิดขึ้นมีปริมาณน้อยกว่าปกติ ทำให้ระบบควบคุมยังสามารถควบคุมอุณหภูมิภายในเครื่องปฏิกรณ์ได้



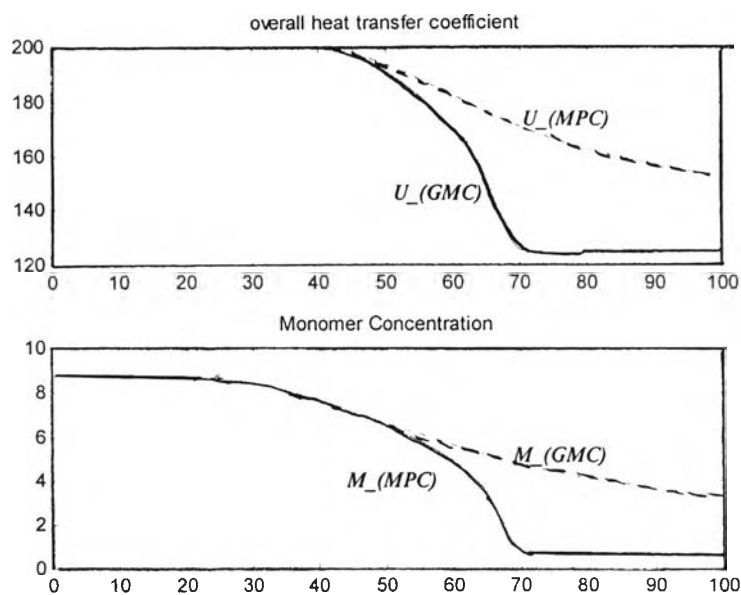
(ก)

รูปที่ 5.14(ก) ผลตอบสนองอุณหภูมิภายในเครื่องปฏิกรณ์เคมีกับเวลาเมื่อเปรียบเทียบการควบคุม โมเดลพรีดิกทีฟและเจเนริกโมเดล เมื่อค่าความเข้มข้นของโมโนเมอร์เพิ่มขึ้น 10 %



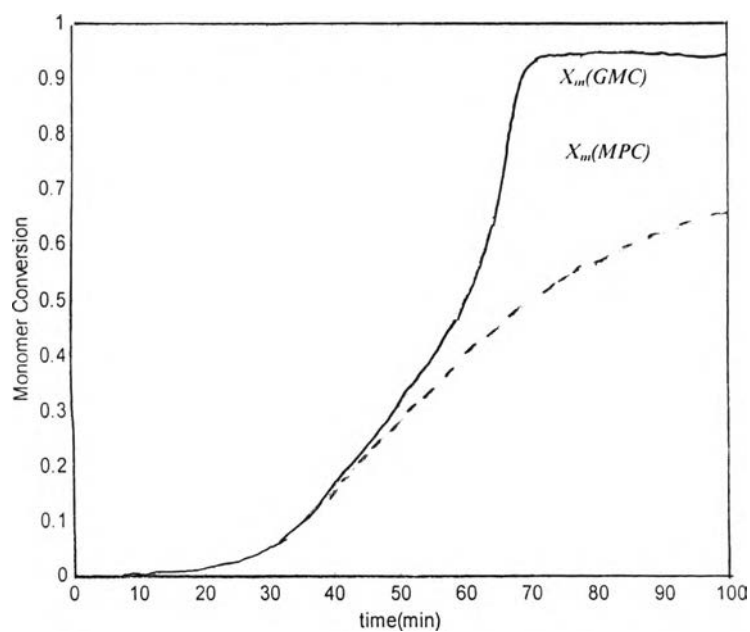
(ข)

รูปที่ 5.14(ข) ผลการประมาณค่าความร้อนที่เกิดภายในเครื่องปฏิกรณ์กับเวลาเมื่อเปรียบเทียบการ ควบคุม โมเดลพรีดิกทีฟและเจเนริกโมเดล เมื่อค่าความเข้มข้นของโมโนเมอร์เพิ่มขึ้น 10 %



(ค)

รูปที่ 5.14 (ค) บน ผลตอบสนองค่าสัมประสิทธิ์การถ่ายเทความร้อนรวมกับเวลาเมื่อเปรียบเทียบการควบคุม โมเดลพรีดิกทีฟและเจเนริกโมเดล เมื่อค่าความเข้มข้นของโมโนเมอร์เพิ่มขึ้น 10 %
รูปที่ 5.14 (ค) ล่าง ผลตอบสนองความเข้มข้นของโมโนเมอร์กับเวลาเมื่อเปรียบเทียบการควบคุม โมเดลพรีดิกทีฟและเจเนริกโมเดล เมื่อค่าความเข้มข้นของโมโนเมอร์เพิ่มขึ้น 10 %



(ง)

รูปที่ 5.14 (ง) ผลตอบสนองคอนเวอร์ชันของโมโนเมอร์เมื่อเปรียบเทียบการควบคุม โมเดลพรีดิกทีฟและเจเนริกโมเดล เมื่อค่าความเข้มข้นของโมโนเมอร์เพิ่มขึ้น 10 %

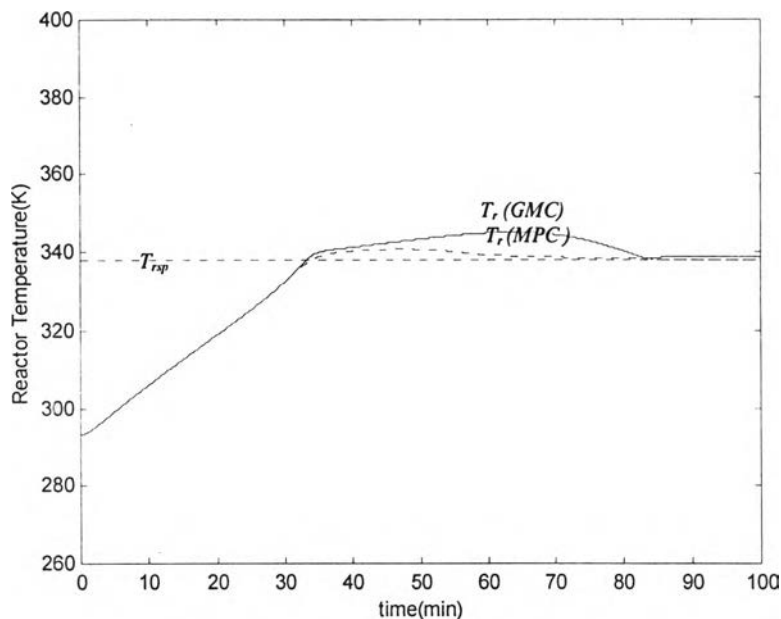
ตารางที่ 5.10 ค่าดัชนีสมรรถนะของการควบคุมในกรณีที่ค่าความเข้มข้นของโมโนเมอร์ตั้งต้นผิดพลาด

| ค่าความเข้มข้นของ โมโนเมอร์ตั้งต้น (%) | ดัชนีสมรรถนะ (ISE*10 ⁴) การควบคุมอุณหภูมิในเครื่องปฏิกรณ์ | | ดัชนีสมรรถนะ (ISE *10 ⁹) การประมาณค่าความร้อน | |
|--|--|---------|--|---------|
| | GMC | MPC | GMC | MPC |
| 120 | * | 9.5732* | * | * |
| 110 | 4.7014* | 2.4210 | 0.8772 | 0.03839 |
| 90 | 2.4350 | 2.4316 | 0.0119 | 0.00913 |
| 80 | 2.4490 | 2.4456 | 0.0089 | 0.00913 |

ในกรณีการป้อนสารตั้งต้นมากกว่าปกติทำให้เกิดปฏิกิริยาเคมีคายความร้อนมากกว่ากรณีเมื่อความเข้มข้นของโมโนเมอร์ในเครื่องปฏิกรณ์ของระบบมากกว่าในแบบจำลองทำให้ตัวกรองกาลมานประมาณค่าความร้อนได้น้อยกว่าค่าจริง ดังนั้นระบบควบคุมจะทำการเพิ่มอุณหภูมิในแจ็กเก็ตมากกว่าปกติ ซึ่งทำให้ปฏิกิริยาเกิดขึ้นมากขึ้น จากการทดสอบพบว่าระบบควบคุมโมเดลพรีดิกทีฟสามารถควบคุมอุณหภูมิได้เมื่อค่าความเข้มข้นของโมโนเมอร์ในเครื่องปฏิกรณ์มีค่าสูงกว่าค่าที่ตั้งไว้ในแบบจำลอง 10% แต่สำหรับระบบควบคุมเจนเนริกโมเดล จะพบว่าตัวกรองกาลมานประมาณค่าความร้อนไว้สูงมาก แต่เนื่องจากตัวแปรปรับมีขอบเขตการดำเนินการอยู่ จึงทำให้ไม่สามารถทำให้อุณหภูมิของเครื่องปฏิกรณ์ลดลงได้ ดังนั้นระบบควบคุมจะทำการเพิ่มอุณหภูมิในแจ็กเก็ตมากกว่าปกติ ซึ่งทำให้ปฏิกิริยาเกิดขึ้นมากขึ้น ทำให้การควบคุมของเจนเนริกโมเดลทำไม่ได้

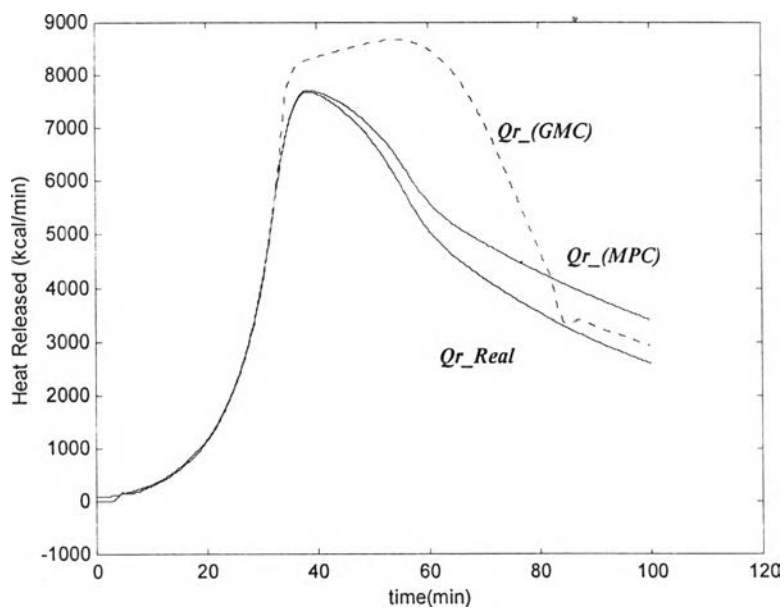
5.5.2.3 กรณีค่าอัตราการสิ้นสุดปฏิกิริยาผิดพลาด

ค่าอัตราการเกิดปฏิกิริยาของแต่ละปฏิกิริยาสามารถเกิดความผิดพลาดเนื่องจากการหาค่าอัตราการเกิดปฏิกิริยาในห้องปฏิบัติการ ความผิดพลาดของค่าอัตราการเกิดปฏิกิริยาที่มีผลกระทบต่อระบบควบคุมอุณหภูมิในเครื่องปฏิกรณ์ที่มีปฏิกิริยาคายความร้อน คือ การลดลงของอัตราการสิ้นสุดปฏิกิริยาที่จะทำให้เกิดความร้อนในเครื่องปฏิกรณ์มากกว่ากรณีปกติ จึงได้ทำการทดสอบระบบควบคุมโมเดลพรีดิกทีฟที่อัตราการสิ้นสุดปฏิกิริยาลดลง ได้ผลดังตารางที่ 5.11 และกราฟรูปที่ 5.15(ก)-(ง)



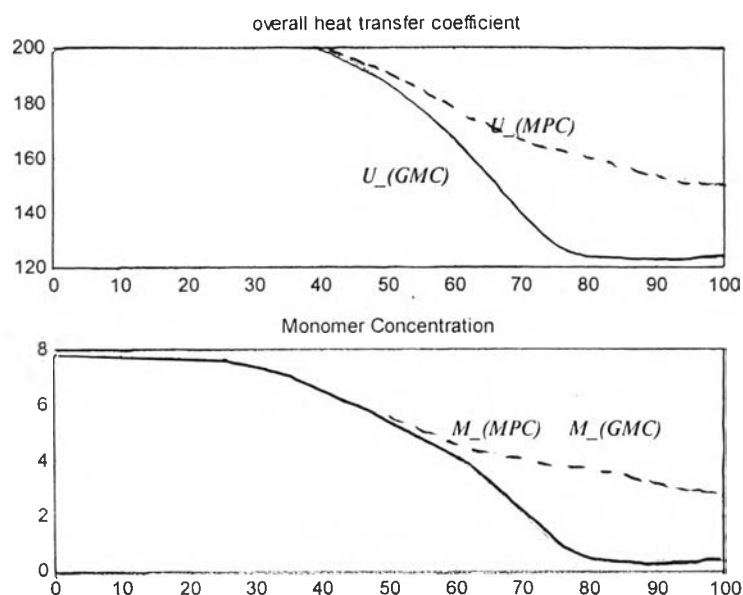
(ก)

รูปที่ 5.15(ก)ผลตอบสนองอุณหภูมิภายในเครื่องปฏิกรณ์กับเวลาเมื่อเปรียบเทียบการควบคุม โมเดลพรีดิกทีฟและเจเนริก โมเดล เมื่ออัตราการสิ้นสุดปฏิกิริยาผิดพลาด ลดลง 20 %



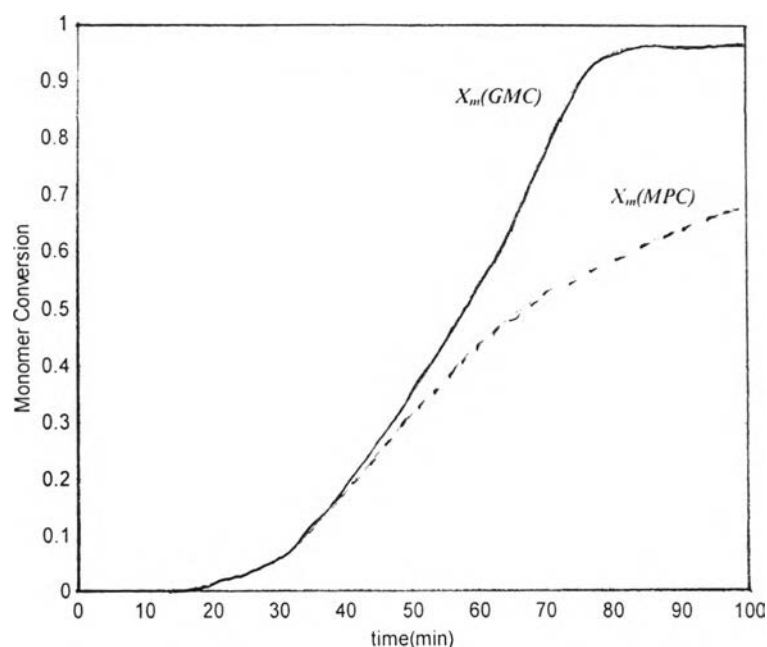
(ข)

รูปที่ 5.15(ข)ผลตอบสนองความร้อนที่เกิดภายในเครื่องกับเวลาเมื่อเปรียบเทียบการควบคุม โมเดลพรีดิกทีฟและเจเนริก โมเดล เมื่ออัตราการสิ้นสุดปฏิกิริยาผิดพลาด ลดลง 20 %



(ค)

รูปที่ 5.15 (ค) บน ผลตอบสนองค่าสัมประสิทธิ์การถ่ายเทความร้อนรวมกับเวลาเมื่อเปรียบเทียบการควบคุมโมเดลพรีดิกทีฟและเจนเนริกโมเดล เมื่ออัตราการสิ้นสุดปฏิกิริยาผิดพลาด ลดลง 20 %
รูปที่ 5.15 (ค) ล่าง ผลตอบสนองความเข้มข้นของโมโนเมอร์กับเวลาเมื่อเปรียบเทียบการควบคุมโมเดลพรีดิกทีฟและเจนเนริกโมเดล เมื่ออัตราการสิ้นสุดปฏิกิริยาผิดพลาด ลดลง 20 %



(ง)

รูปที่ 5.15 (ง) ผลตอบสนองคอนเวอร์ชันของโมโนเมอร์กับเวลาเมื่อเปรียบเทียบการควบคุมโมเดลพรีดิกทีฟและเจนเนริกโมเดล เมื่ออัตราการสิ้นสุดปฏิกิริยาผิดพลาด ลดลง 20 %

ตารางที่ 5.11 ดัชนีสมรรถนะของการควบคุมในกรณีที่ค่าอัตราการสิ้นสุดปฏิกิริยาผิดพลาด

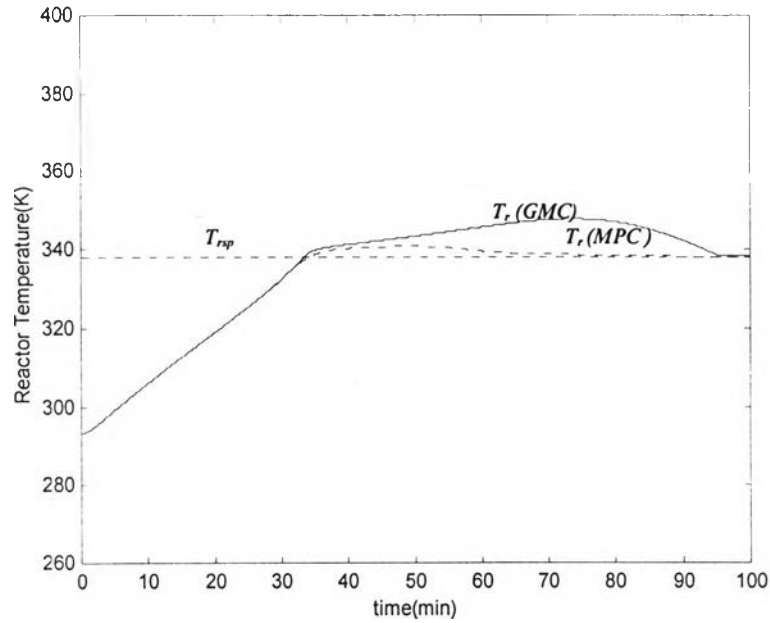
| ค่าอัตราการเกิด ปฏิกิริยา (%) | ดัชนีสมรรถนะ ($ISE \cdot 10^4$) การควบคุมอุณหภูมิในเครื่องปฏิกรณ์ | | ดัชนีสมรรถนะ ($ISE \cdot 10^6$) การประมาณค่าความร้อน | |
|-------------------------------------|--|--------|---|--------|
| | GMC | MPC | GMC | MPC |
| 120 | 2.4324 | 2.4291 | 0.01055 | 0.0082 |
| 110 | 2.4277 | 2.4246 | 0.01277 | 0.0010 |
| 90 | 2.4222 | 2.4144 | 0.02026 | 0.0166 |
| 80 | 2.5247 | 2.4129 | 0.06061 | 0.0226 |

จากผลการทดสอบพบว่าความผิดพลาดที่เกิดขึ้น ไม่มีผลต่อการประมาณค่าความร้อน เนื่องจากแบบจำลองของตัวกรองคาลมาน ไม่มีอัตราการเกิดปฏิกิริยาเป็นตัวแปรสแตท จากผลการทดสอบพบข้อได้เปรียบของระบบควบคุมโมเดลพรีดิกทีฟที่มีการปรับเมตริกซ์น้ำหนัก P ทุกครั้งของการควบคุมทำให้ระบบควบคุม โมเดลพรีดิกทีฟมีความยืดหยุ่นในการปรับแบบจำลองให้เหมาะสมในขณะที่ระบบควบคุมเจเนริก โมเดลที่มีแบบจำลองการควบคุมที่ใช้ถ่วงน้ำหนักเป็นค่าคงที่ทำให้ระบบควบคุมโมเดลพรีดิกทีฟสามารถควบคุมกระบวนการที่อัตราการสิ้นสุดปฏิกิริยา ลดลงถึง 20% ในขณะที่เจเนริก โมเดลไม่สามารถทำการควบคุมได้ สังเกตได้จากรูปที่ 5.15 ก-ข

และสำหรับระบบควบคุมเจเนริก โมเดลจะเหมือนกับในกรณีที่แล้วๆมาคือ จะพบว่าตัวกรองคาลมานประมาณค่าความร้อนไว้สูงมาก แต่เนื่องจากตัวแปรปรับมีขอบเขตการดำเนินการ อยู่ จึงทำให้ไม่สามารถทำให้อุณหภูมิของเครื่องปฏิกรณ์ลดลงได้ ดังนั้นระบบควบคุมจะทำการเพิ่มอุณหภูมิในแจ็กเก็ตมากกว่าปกติซึ่งทำให้ปฏิกิริยาเกิดขึ้นมากขึ้นทำให้การควบคุมของเจเนริก โมเดลทำไม่ได้

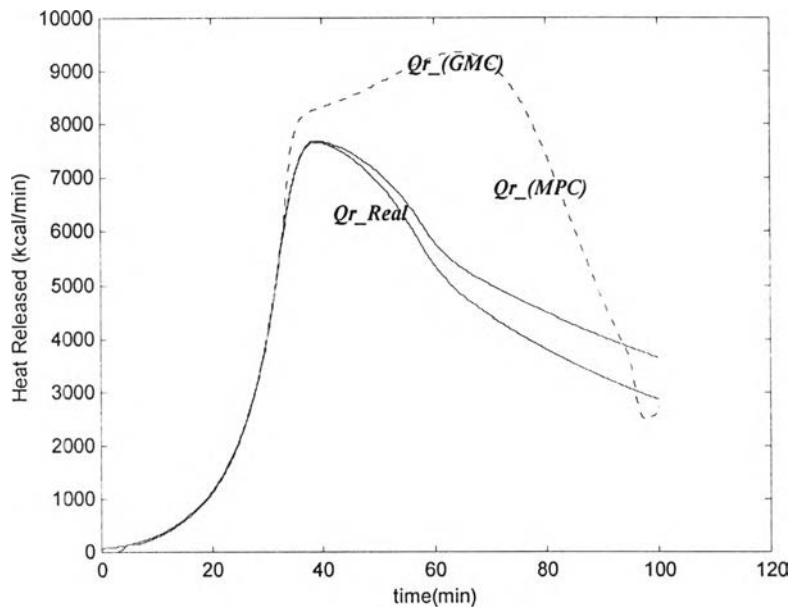
5.5.2.4 กรณีค่าความร้อนของการเกิดปฏิกิริยาผิดพลาด

ค่าความร้อนของการเกิดปฏิกิริยาเป็นค่าตัวแปรที่สามารถผิดพลาดจากค่าจริงในกระบวนการ ค่าความร้อนที่เปลี่ยนแปลงไปอาจหมายถึงค่าความร้อนของการเกิดปฏิกิริยาที่ใช้เบี่ยงเบนไปจากของจริง ในงานวิจัยนี้ค่าความร้อนของการเกิดปฏิกิริยา เป็นค่าตัวแปรสแตทที่มีผลต่อการควบคุมอุณหภูมิของปฏิกิริยาการคายความร้อนสูง เป็นฟังก์ชันของอัตราการเกิดปฏิกิริยา ค่าความร้อนของการเกิดปฏิกิริยา และปริมาณสารตั้งต้น ในงานวิจัยนี้จึงทำการทดสอบความทนทานต่อความผิดพลาดของค่าความร้อนของการเกิดปฏิกิริยาเคมี โดยใช้ค่าความร้อนของการเกิดปฏิกิริยา มีค่าสูงกว่าที่แบบจำลองใช้ได้ผลดังตารางที่ 5.12 และรูปที่ 5.16



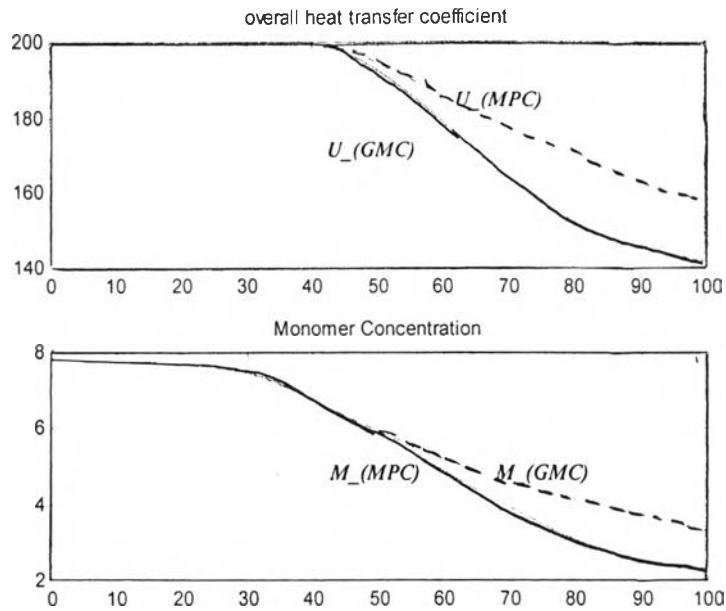
(ก)

รูปที่ 5.16(ก) ผลตอบสนองอุณหภูมิภายในเครื่องปฏิกรณ์กับเวลาเมื่อเปรียบเทียบการควบคุม โมเดลพรีดิกทีฟและเจเนริก โมเดลเมื่อค่าความร้อนของการเกิดปฏิกิริยาเพิ่มขึ้น 10 %



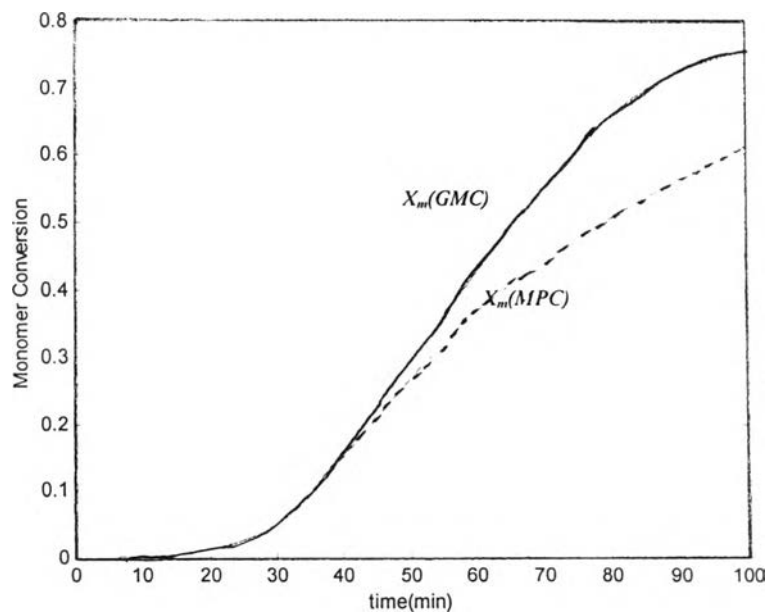
(ข)

รูปที่ 5.16(ข) ผลการประมาณค่าความร้อนที่เกิดภายในเครื่องกับเวลาเมื่อเปรียบเทียบการควบคุม โมเดลพรีดิกทีฟและเจเนริก โมเดลเมื่อค่าความร้อนของการเกิดปฏิกิริยาเพิ่มขึ้น 10 %



(ค)

รูปที่ 5.16 (ค) บน ผลตอบสนองค่าสัมประสิทธิ์การถ่ายเทความร้อนรวมกับเวลาเมื่อเปรียบเทียบการควบคุมโมเดลพรีดิกทีฟและเจเนริก โมเดลเมื่อค่าความร้อนของการเกิดปฏิกิริยาเพิ่มขึ้น 10 %
รูปที่ 5.16 (ค) ล่าง ผลตอบสนองความเข้มข้นของโมโนเมอร์กับเวลาเมื่อเปรียบเทียบการควบคุมโมเดลพรีดิกทีฟและเจเนริก โมเดลเมื่อค่าความร้อนของการเกิดปฏิกิริยาเพิ่มขึ้น 10 %



(ง)

รูปที่ 5.16 (ง) ผลตอบสนองคอนเวอร์ชันของโมโนเมอร์ภายในเครื่องกับเวลาเมื่อเปรียบเทียบการควบคุม โมเดลพรีดิกทีฟและเจเนริก โมเดลเมื่อค่าความร้อนของการเกิดปฏิกิริยาเพิ่มขึ้น 10 %

ตารางที่ 5.12 ค่าดัชนีสมรรถนะของการควบคุมในกรณีที่ค่าความร้อนของการเกิดปฏิกิริยา ผิดพลาด

| ค่าความร้อน ของการเกิดปฏิกิริยา(%) | ดัชนีสมรรถนะ (ISE*10 ⁴) การควบคุมอุณหภูมิในเครื่องปฏิกรณ์ | | ดัชนีสมรรถนะ (ISE*10 ⁴) การประมาณค่าความร้อน | |
|---------------------------------------|--|---------|---|----------|
| | GMC | MPC | GMC | MPC |
| 120 | 9.6188* | 8.8555* | 1.7953 | 0.8572 |
| 110 | 5.3312 | 2.4297 | 0.010265 | 0.01008 |
| 90 | 2.4336 | 2.4303 | 0.01226 | 0.00946 |
| 80 | 2.4461 | 2.4426 | 0.00946 | 0.006673 |

*ไม่สามารถควบคุมได้

ผลการจำลองของค่าความร้อนที่เกิดขึ้นในเครื่องปฏิกรณ์จะพบว่าค่าความร้อนของการเกิดปฏิกิริยา (Heat of Reaction) จะมีผลทำให้อุณหภูมิในเครื่องปฏิกรณ์จะสูงกว่าในกรณีปกติ และเนื่องจากค่าความแปรปรวนของค่าความร้อน ในตัวกรองกาลมานมีค่าสูงมากทำให้ตัวกรองกาลมานสามารถประมาณค่าความร้อนได้ใกล้เคียงค่าจริงถึงแม้แบบจำลองของระบบประมาณค่ามีค่าความร้อนของการเกิดปฏิกิริยาจะผิดพลาดไปก็ตาม การที่ตัวกรองกาลมานประมาณค่าได้ใกล้เคียงค่าจริง อีกเหตุผลหนึ่งเนื่องมาจากที่ แบบจำลองของตัวกรองมีแบบจำลองเป็นแบบจำลองของกระบวนการ กับค่าที่เป็นสัญญาณอินพุทของตัวกรองมีทั้ง ค่าเอาท์พุทที่ได้จากการวัดและค่าตัวแปรปรับในอดีต จึงทำให้ระบบควบคุมโมเดลพรีดิกทีฟสามารถควบคุมกระบวนการที่มีค่าความร้อนของการเกิดปฏิกิริยาเพิ่มขึ้นได้สูง 10% และในขณะที่ระบบควบคุมเจเนริกโมเดล จะพบว่าตัวกรองกาลมานประมาณค่าความร้อนไว้สูงมากกว่ากรณีของโมเดลพรีดิกทีฟ แต่ระบบควบคุมเจเนริกโมเดลที่มีแบบจำลองการควบคุมที่ใช้ถ่วงน้ำหนักเป็นค่าคงที่ การคำนวณค่าตัวแปรปรับเนื่องจากตัวแปรปรับมีขอบเขตการดำเนินการอยู่ จึงทำให้ไม่สามารถทำให้อุณหภูมิของเครื่องปฏิกรณ์ลดลงได้มากกว่าขอบเขต ดังนั้นระบบควบคุมจะทำการเพิ่มอุณหภูมิในแจ็กเก็ตมากกว่าปกติ ทำไม่ได้ ระบบจึงไม่สามารถควบคุมได้ดังรูป